

824

824

180 Km east of Arech
in FAMATINA RANGE
to west of Nonogasta.

8
2


I.N.G.M.

PLAN CORDILLERA NORTE

INFORME PRELIMINAR

AREA DE RESERVA

"MIRANDA SUR"

AUTOR:

EDUARDO H. PERALTA
Geólogo

Colaboraron los Geólogos:

R. E. FERREIRA

E. O. LAVANDAO

J. GUILLOU

1967-1968

I N D I C E



I- RESUMEN.....	pág.
II- UBICACION Y VIAS DE ACCESO.....	1
III- CLIMA Y RECURSOS NATURALES.....	2
A- Clima.....	3
B- Agua.....	3
C- Leña.....	3
IV- GEOLOGIA.....	3
A- Regional.....	3
B- Local.....	3
a) Geomorfología.....	4
b) Geología estructural.....	4
c) Litología.....	6
d) Alteración y mineralización.....	7
e) Historia geológica.....	12
	14
V- TECNICA APLICADA.....	15
A- Estudio preliminar orientativo.....	15
B- Estudio Sistemático Detallado.....	16
VI- CONCLUSIONES.....	18
A- Generales.....	18
B- Prácticas.....	18
a) Factores favorables.....	19
b) Factores desfavorables.....	19
	20
VII- RECOMENDACIONES.....	20
APENDICE GEOQUIMICO.....	22
APENDICE PETROGRAFICO.....	24
APENDICE CALCOGRAFICO.....	29

00
00
por fallas meridionales de altoángulo, con el granito Pocococha y la roca
do cubierta hasta el Cuaternario Inferior por los sedimentarios del Paleozoico
y II. Esto indicaría que la zona tuvo dos períodos de crecimiento, el uno
de Precárabeños y el otro postcarábeo.

Debido a la presencia de alteración hidrotermal, geología favorecida
para la formación de minerales.

Llamado indicar y buenas condiciones geológicas para efectuar los que **INFORME PRELIMINAR ZONA "MIRANDA SUR"** va definir el problema. Se ha en el año de 1968 se obtuvieron buenas resultados, debido a que se han obtenido los mejores valores relativamente bajos en molibdeno (menos de 40 ppm), extensión de los dos sectores de la zona (el uno 400 m de largo por 100 m de ancho) y que la mayor parte es todo el valle en cuestión. Los resultados se dan en el informe mencionado, publicado por el INGEMEX.

I- RESUMEN

La zona que hemos denominado Miranda Sur, está ubicada en el extremo sur de la Sierra de Famatina, en la proximidad del Bordo Atravesado (Cuesta de Miranda, Provincia de La Rioja). Distante 30 km de Nonogasta (estación ferroviaria más cercana), con la cual se une mediante la ruta Nacional N° 40 una huella interna posibilita el acceso hasta unos 2 km del sector en consideración.

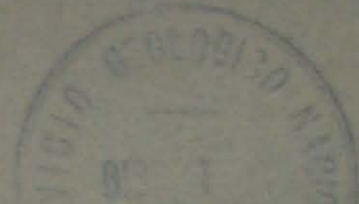
El agua y la leña son abundantes.

Geomorfológicamente está incluida en el sector hundido de una fosa tectónica, paralela al río Miranda. Las condiciones topográficas, para la existencia de un enriquecimiento secundario, se consideran favorables. Se distinguen dos tipos de alteración: sericitica, donde se encuentran los mejores valores de molibdeno y propilítica, donde existen manifestaciones de cobre, plomo, fluorita y baritina, que parecen responder a una zonación hipogénica.

Geológicamente se distinguen metamorfitas intruídas por dacitas, riolitas y brechas andesíticas (éstas últimas más modernas, consideradas Devónicas, estarían asociadas a la alteración). Esta franja tiene contacto, por fallas meridionales de alto ángulo, con el granito Famatina y ha estado cubierta hasta el Cuartario Inferior por las sedimentitas del Paganzo I y II. Esto indicaría que la zona sufrió dos períodos de erosión, el primero Precarbónico y el otro post-Terciario.

Debido a la presencia de alteración hidrotermal, geología favorable, tuvo la población de Villa Unión.





limonita indígena y buenas condiciones geodríficas, se considera necesario efectuar dos perforaciones en los puntos denominados A y B en el plano, para definir el problema. No obstante no se abrigan demasiadas esperanzas de obtener buenos resultados, debido a que existen factores desfavorables, tales como: valores relativamente bajos en molibdeno (menos de 40 ppm); poca extensión de los dos sectores elegidos (tienen 400 m de largo por 100 de ancho); y que la mayor parte e todo el sulfuro original fue pirita (determinado en siete muestras, estudiadas por calcografía).

Es probable que se haya desarrollado una zona de enriquecimiento, pero es problemático que ésta llegue a valores y tenelajes de importancia económica. En caso de existir, estaría a unos 70 m por debajo de la superficie, en los puntos elegidos para las perforaciones.-

Agua, en dependencia del uso minero y consumo al momento (esta cifra varía según el uso), entre 100 y 120 litros por segundo. La tasa minima es de 100 litros.

II- DIRECCION Y VIAS DE ACCESO

La zona estudiada se encuentra en el extremo sur de la Sierra de Funatín, unos 2 km al norte de la Cuesta de Miranda, a la altura del paraje denominado Bordo Atravesado, entre el faldeo oriental del cerro El Manzano y el río Miranda. La altura es de unos 2,000 m s.n.m. El acceso a la zona se realiza por la ruta N° 40 en el tramo correspondiente a la Cuesta de Miranda, desviándose por un camino secundario que, desde el Bordo Atravesado se dirige hacia el norte (normalmente está en buen estado) siguiendo 1 km para desviarse hacia el este por una vieja huella que llega hasta el río El Manzano. Antiguamente esta senda llegaba hasta las minas de caolín del Portezuelo de La Alumbrera, pero actualmente se interrumpe en el lecho del río citado.

Las distancias son de unos 30 km hasta Nonogasta que es la estación ferroviaria más cercana, que está a unos 15 km de Chilcito; poblaciones ambas que se comunican por rutas pavimentadas, o en buen estado con la ciudad de La Rioja y provincias vecinas. Hacia el oeste a unos 50 km está situada la población de Villa Unión.-



III- CLIMA Y RECURSOS NATURALES

A- Clima: es continental semidesértico. Las temperaturas extremas oscilan entre 45° y 10° C. Las precipitaciones se pueden estimar en 250 mm anuales y son esencialmente pluviales, por cuanto las nevadas a pesar de ser frecuentes en la Sierra de Pantina, raramente descienden por debajo de los 3.000 m. Los vientos son normales durante todo el año pero no demasiado intensos. En general el clima no presenta inconvenientes serios para el trabajo, salvo en la temporada de otoño, cuando es frecuente la neblina.

B- Agua: la región está favorecida por los recursos autóctonos; abunda el agua, en especial en el Río Miranda y arroyo El Manzano (que tiene un caudal de hasta 7 litros por segundo). El Río Miranda tiene problemas de acceso (considerando las necesidades para una perforación). El arroyo El Manzano en cambio, puede surtir por su caudal, distancia y accesibilidad las necesidades de agua para la perforación y consumo, tal como destacamos en las RECOMENDACIONES. Existen además varios pequeños nantiales, generalmente en zonas de falla.

C- Leña: no hay problema de combustible por lo menos para el consumo de una comisión pequeña, (esencialmente jarilla). Si fuera necesaria mayor cantidad se la pueda conseguir buena y abundante en la localidad de Los Tambillos, a unos 10 km del lugar, por el camino a Villa Unión donde abundan los "viscos" y algarrobos.-

IV- GEOLOGIA (Regional y Local).-

A- Regional: ésta ha sido ampliamente tratada por el Dr. E de Alba en la hoja Geológica "16 C" (Villa Unión) y en el "Informe preliminar del mosaico 48A".

///

superficie), en dos vertientes. Esto no impide que el río entre en la vertiente alta a través de la falla de la zona alterada. De modo similar

B- Locales incluimos bajo esta denominación a la geología de la región afectada por la alteración hidrotermal y sus alrededores; ver plano N° 1 (escala 1:25.000). La zona alterada se extiende en una franja casi triangular de rumbo NS de unos 9 km de largo por un ancho máximo de 1.200 m, que se acuña enángulos hacia el N y con un extremo recto hacia el sur que sale fuera del límite del monigote 46A.

- a) Geomorfología: haciendo un perfil regional NW distinguimos un bloque deprimido por falla, formando una fossa, entre los pilares de los filos Potrero Alto (y en su extremo norte el Cerro Manzano) y Potrero Seco que ha sufrido un balanceo inclinándose suavemente hacia el E. El Río Miranda sigue aproximadamente el eje de esa fossa, en sentido NW-SEE por una garganta, que es bastante profunda entre el puente Las Peñas y la Cuesta de Miranda. Un perfil longitudinal según el río resulta aproximadamente perpendicular al primero y en él se destacan dos sectores de pendiente madura y uno intermedio, juvenil. Los sectores de pendiente madura se extienden uno aguas abajo de Cachiyuyo y el otro desde el Puesto Las Peñas hacia arriba. En éstas dos zonas los desniveles son reducidos y los afluentes desembocan a nivel del río colector; el nivel freático regional está a poca profundidad. En la zona intermedia el perfil es más juvenil y recién ahora está logrando la madurez. Los afluentes aparecen "colgados" a bastante altura sobre el río Miranda y ese desnivel tiende a aumentar hacia el S, pasando desde unos 10 m, en el arroyo Las Peñas, hasta 300 m en los afluentes que caen desde el W cerca de la Cuesta de Miranda. Las características juveniles indican un paulatino descenso del nivel freático regional; por lo menos desde el Cuartario Inferior a medida que el Río Miranda fue progresando en la excavación de su cauce. El descenso del nivel freático, debido a la especial posición de la zona alterada, puede haber favorecido la lixiviación y quizás de un enriquecimiento secundario. Si bien, en dicha zona, existe agua
- estimar la profundidad
- entre pero, en base a lo dicho, la profundidad máxima debe ser
- ///
- 11



superficial en dos vertientes, ésta no corresponde al nivel freático verdadero sino a efectos asociados a las estructuras. Podemos decir que, dicho nivel de saturación permanente, no aflora en las cercanías de La Alusbrera y que debe relacionarse su profundidad al nivel del río Miranda que está a una cota topográfica inferior. Las aguas de la Alusbrera se inciernen totalmente y desaguan hacia el río por debajo de la superficie. Este desague, si bien no está fregado (por cuanto no hay agua permanente en superficie), debe estar muy obstruido por la falla E y la barrera granítica que lo separa del río Miranda. El ciclo erosivo actuó desde el Cuaternario Inferior, por lo menos, ya que no se formaron terrazas en esta franja, lo que indica que su poder de arrastre (y su pendiente) fueron suficientemente elevados. Recién en la actualidad el río logró un perfil más cercano al equilibrio y ha comenzado a rellenar su propio cauce.

No puede determinarse el grado de erosión que alcanzó la roca alterada previamente a la deposición del Paganzo I, por cuanto no tenemos elementos de juicio para ello. En el segundo período de erosión (post-Pármico) pudo barrer los estratos Terciarios y Pármicos (ignoramos si existieron pues solo se conservan restantes del Carbónico). Recientemente el relieve fue cubierto brevemente por sedimentos de conos de desecación poco espesos y finalmente disectados hasta el nivel actual de La Alusbrera; ese desnivel máximo hasta la superficie de erosión pre-Carbónico es de unos 200 m. El desnivel del río Miranda hasta esa misma superficie es de unos 300 m. La Alusbrera, por lo tanto no fue tan disectada por la erosión, gracias a la falla E y la barrera granítica que actuó como dique regulador. La Alusbrera tiene forma oval deprimida, donde sobresalen los bancos de cuarcita y corresponde en general a la zona más alterada. La diferencia de nivel entre esta zona deprimida y el río Miranda es de unos 100 m. Es probable que el nivel freático principal, en la zona alterada, esté más arriba que el nivel del río colector. Al no tener idea de la permeabilidad de la barrera granítica, que interfiere el drenaje subterráneo, solo se puede estimar la profundidad de dicho nivel con un margen muy grande de error pero, en base a lo dicho, la profundidad máxima debe estar entre

SUBSECRETARIA DE MINERIA Y COMBUSTIBLES
INSTITUTO NACIONAL DE GEOLOGIA Y MINERIA

50 y 80 m por debajo de la superficie actual, (como cifra aproximada podemos hablar de 70 m). Esta profundidad sería la máxima a que tuvo acceso la oxidación; es probable que el error sea por exceso, por dentro del rango estimado. Por lo tanto la zona de oxidación puede llegar hasta unos 70 m por debajo de la superficie actual, pero no más profunda. La oxidación ha producido una serie de alteraciones

a) Geología estructural: como puede verse en el plano 1, la franja alterada se inclina hacia el norte entre dos fallas regionales, de carácter inverso. En varios lugares se superpone a sedimentitas paleozoicas cuyos rasgos varían de NE a NW-SE, basando entre los 80% y la vertical. Otra falla, de cierta evanescencia, casi vertical bordea por el E la zona alterada, en su sector sur (falla E); si movimiento es directo pero, con las características de que hacia el sur del río Arroyo de Piedra, el labio hundido es el occidental mientras que al norte del mismo río sucede lo contrario. Esto habla de un "balanceo" no regular, por cuanto los desplazamientos a lo largo de la falla no son proporcionales a la distancia al eje de pivote, que corresponde por el río mencionado.

En el extremo sur existe una pequeña falla NE, inversa, de basamiento mediano (unos 50%), que juntamente con otra subvertical elevan en forma de pilar el Filo Aspero. Son todas fallas de alto fragil, tienen rasgo aproxiando NW-SE y NE-SW (algunas no figuran en el plano 1 por no permitirlo la escala). Si bien no influyen mucho sobre la geología, lo hacen sobre el relieve, y en general son más elevados los labios más cercanos al oeste. La falla "Este" puede ser anterior a la última fase de alteración, caracterizándose por la presencia de inyección de cuarzo lechoso, caloidita y pocas veces baritina, como fenómenos epiteriales. Son frecuentes además, pequeñas fracturas y diaclasas, no muy constantes, que aún sufrió alteración sericitica (visible sobre todo en las zonas propilitizadas) y otras llenadas de cuarzo también ejercen de divisorias, suaves y débilmente. Se extiende

83 1 844

cita, y/o baritina, y/o fluorita blancas o violáceas (estas asociaciones se observan alejándose de las áreas de mayor alteración).

Pese a ello la mayoría de las fracturas principales son postminerales. La roca alterada sin embargo tiene un craquelado y un parte brechias te intenso, que ha canalizado las soluciones con un relleno posterior característico, más notable en los cuarcitas que en las dacitas.

c) Litológia: los tipos litológicos, agrupados según el orden cronológico supuesto, son diez a once:

10- Quartario: depósitos poco seleccionados de rodados, de granulometría correspondiente a gravas y arenas sin consolidar. Forma terrazas dando un nivel antiguo, cortado actualmente por la erosión. Sus depósitos no alcanzan gran espesor, se mantienen dentro de los diez metros de potencia; al parecer en épocas recientes cubrieron por un tiempo casi toda el área. Actualmente van siendo eliminados.

9- Pamano III (Formación Patagua), consta de los clásicos areniscas rojas (feldespáticas) bastante homogéneas. Abunda el yeso en sus discordancias y fallas. Son frecuentes las grietas de desecación y la estratificación entrecruzada.

8- Pamano I: (Formación Tuye), está integrada por areniscas grises, amarillentas y rojizas (subareníticas 7), lutitas carbonosas y bancos conglomeráticos. Los clastos, bien redondeados son de granito, cuarzo pegmatítico rosado o blancos y dacita-andesitas alteradas, apareciendo también clastos mibangüenses de metavariétas (pisarras en general); los diámetros de los rodados nunca pasan de 15 cm. La meteorización suele ser avanzada y es frecuente la decoloración de areniscas rojizas con formación de nódulos ferruginosos. Abunda también la estratificación entrecruzada, las grietas de desecación y las ondulitas.

7- Andesitas: andesitas efusivas de colores morado a pardo amarillento con predominio del primero. En partes son brechas andesíticas que incluyen también clastos de granito, cuarzo y dacitas. Se encuentran bao-

-8-

///

Los más potentes aparecen al sur; al norte son más
tanto fracturadas y con abundancia de limonita en fisuras cercas de
los contactos. No presentan alteración hidrotermal fuerte, siendo
muy frecuentes las manchas de malaquita. No son visibles sulfuros
frescos; el aspecto alterado de la roca es más bien debido a la met-
rización. A pesar de todo ello, en La Alumbrera, existen rocas cono-
jantes (brechosas) totalmente alteradas que pudieran corresponder a
andesitas o a intrusivos hipabídicos de igual naturaleza que pueden
ser los responsables de la alteración en la zona. La correlación in-
tentada, es de valor relativo, pues resulta utópico separar estas
andesitas de las dacita-andesitas más antiguas, teniendo ambas el
mismo tipo e intensidad de alteración. Sin embargo, estas andesitas
más modernas son más brechosas que las segundas. Al microscopio es-
tas rocas, cuando están alteradas, aparecen como una masa de serici-
y caelín de grano fino (muestra N° 34004).

6- Formación Volcánico: con lutitas homogéneas, de colores gris ne-
gruzco, apenas bandoadas, con trilobitas del Tremadociano inferior.
Está afectada por una piritización incipiente, ^{con} según venillas, y de
coloración en las cercanías de las andesitas anteriores; no se ha
comprobado ningún mineral de contacto con seguridad, a pesar de es-
tar ambas rocas casi adocadas en un par de lugares.

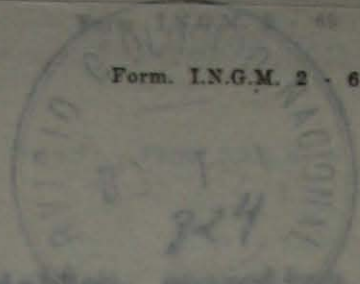
5- Lamífido: aparecen como diques oscuros (negro-verdosos) de mo-
nos de dos metros de espesor, muy bien definidos, siguen una fractu-
ración de rumbo medio NW-SE, subverticales o buscando apena al E.,
son más frecuentes en el granito. Suelen tener gránulos de pirita
fresca y no producen alteración en la roca de caja.

4- Pórfidos riolíticos: esta denominación simplificada es usada pa-
ra varias rocas de naturaleza semejante, que varían desde pórfidos
riolíticos a graníticos y granitos normales.

Los pórfidos aparecen como intrusivos diqueiformes de poca enverga-
dura (salvo 2 que alcanzan los 100 m de espesor nunca pasan de 10 m)



///



Los más potentes aparecen al sur; al norte son angostos pero mucho más abundantes, teniendo al mismo tiempo un aspecto aplítico. Generalmente contienen gránulos de pirita fresca. En la parte norte de la zona, a orillas del Río Miranda pasan gradualmente a granito rojizo, pobre en elementos micáceos, que también tiene sectores aplíticos. Afectan sobre todo a la Formación Negro Peinado en forma más o menos concordante, de rumbo NNE-SSW y a las dacita-andesitas en sentido NE-SW. Con un emplazamiento semejante existen unos pocos diques de riocacita (?) alterados, con cavidades de sulfuros oxidados y análisis resultados analíticos dan valores geoquímicos altos en Cu y Pb (se observó una media docena de diques de riocacita).

3- Dacitas-andesitas: se trata de pórpidos y brechas de ese carácter que, en algunos lugares aparecen "milonitizadas". En todas partes muestra alteración propilítica, salvo la zona de La Alumbrera donde predominia la pirito-sericitica. El cardoter de la roca varía al percibir entre los términos citados sin regla fija. Intruyen, como diques e lentes irregulares, al Negro Peinado y granito del Funatina con rumbos medios NNE-SSE y subverticales.

2- Granito "Funatina": es un granito rojado común, de aspecto "susicoso" por la abundancia de elementos micáceos (biotita), más o menos orientados; suelte tener microclino en "ojos" que le da un aspecto de grano migmatítico al conjunto. Son comunes los diferenciados pegmatíticos que forman especies de "ojos" con núcleos cuarzosos de hasta 30 cm de largo, que suelen terminar adelgazándose a venillas de 1 ó 2 cm de diámetro. Abundan las aplitas y relictos ovoidales de metanorfitas anfibolitizadas (generalmente reconocibles, pero a veces transformadas en agregados cuarzo-micáceos). Estos relictos nunca pasan de 20 cm de largo.

1- Negro Peinado: con este nombre buscamos correlacionar las metamorfitas de bajo grado del lugar, con las descriptas por Turner en la hoja "Vinchina".



Esta unidad comprende pisarras coquicostas muy friables, cuarcitas bandeadas formando bancos de hasta 40 cm de espesor (separados por cenas pisarrosas) y cuarcitas masivas, en general piritizadas. Los rubos predominantes son NEW-SSW buscando hacia el E, con fuertes angulos. Esta parece ser la unidad más antigua conservándose como retazos discontinuos en toda la zona. Como algo especial mencionamos la existencia de dos pequeños bancos conglomeráticos (30 cm de espesor) incrustados entre las cuarcitas en el faldeo al sur del Río Brigueta.

Distribución: la roca más abundante es el granito Fanatina, dentro del cual aparecen los otros tipos litológicos en franjas hundidas por fallas, las que preservan sus restos de la erosión. En el sector que se extiende hacia el norte del Río Las Peñas, tenemos una "astilla" de Negro Peinado que se va acudiendo hasta desaparecer entre dos fallas regionales, una de las cuales lo pone en contacto con el granito Fanatina y la otra con el Paganzo I, que cubre allí al granito riolítico 4.

Las metamorfitas de este sector contienen numerosas inyecciones riolíticas con aspecto de aplitas concordantes con la fisilidad de rubro NW-SSE, un par de diques de riolita con sulfuros diseminados (Qda. del Tigre), un pequeño intrusivo de pórfido dacítico fresco y numerosos diques de naturaleza semejante, cuya característica es la producir en las diaclasas, numerosas eflorescencias salinas de cobre. Ninguno de los diques mencionados ni los lamprófidos que afectan al granito, llegan a 4 m de espesor, lo normal es 1 m. El intrusivo es algo mayor, (200m x 50m).

El área está cubierta en gran parte por areniscas blancas amarillentas del Paganzo I; se asientan sobre una superficie de erosión labrada en las rocas mencionadas y no están afectadas por manifestaciones magnéticas.

Inmediatamente al sur del río Las Peñas, se ha intercalado un pórfido



dacítico muy fresco entre el Negro Peinado y el granito, con un contacto intrusivo normal. Algo más al sur el límite granito-pórfido está dado por la falla "F". El Negro Peinado se adelgaza hasta perder su continuidad y se conserva como retazos aislados dentro de los intrusivos (colgajos). El intrusivo dacítico forma un cerco redondeado muy característico y está atravesado por diques de pórfidos riolíticos con aspecto aplítico, muy conspicuos, verticales de rumbo medio NE-SW y cuya potencia alcanza hasta 6 m. Es notable el hecho de que el rumbo de estos diques es casi perpendicular al rumbo medio de los homólogos que afectan al Negro Peinado un poco más al norte. El pórfido dacítico se continúa hacia el sur del río Arco de Piedra donde sus afloramientos se van "deshilachando" debido a que contiene numerosos "colgajos" del techo metanorfizado, que les restan continuidad pero, que pueden seguirse con cierta facilidad hasta el Filo Aspero y alrededores, donde esta roca suele aparecer también formando brechas. En este sector comienzan a aparecer chincenas de brechas andesíticas más modernas, o sus equivalentes efusivos, con sección cilíndrica o diqueiforme (son muy representativas a orillas del arroyo El Manzano y en el Portezuelo Colorado). Aquí la geología se hace confusa, debido a la alteración hidrotermal intensa que emascara el origen de las rocas. Las andesitas se alteran por completo a sericitita y caolín y las partes brechosas, al sur del Portezuelo de La Alumbrera, tienen una matriz de sílice poscosa y sericitita, lo que da al conjunto un aspecto totalmente blanqueado.

Los intrusivos riolíticos ganan tamaño y pierden frecuencia lo mismo que los diques andesíticos. En el río Juárez es visible un retazo de lutitas, de la Formación Volcancito, que se diferencian del Negro Peinado por la ausencia de cuarcitas que, en la zona, son las que dominan sobre las pizarras mientras que las lutitas ordovícicas son mucho más homogéneas.

La Formación Volcancito está afectada por dos diques silíceos pos-

111

deconcordantes, cuya naturaleza no pudo aún ser determinada. Esta roca es frecuente en los alrededores del área sericitizada, pero no manifiesta preferencias en cuanto a asociaciones con alguna otra roca. Las lutitas han sufrido alteración, al parecer, proveniente de las andesitas. Pasando el río El Manzano hacia el sur todas las unidades desaparecen por debajo de los depósitos del Paganzo I y II y el río Llano moderno aterrazado.

teración y mineralización: en una visualización general, se observa

1) Un área de alteración sericitica (entiéndase por tal la abundancia sericitica, acompañada por piritización en venillas y diseminada, silificación y caolinización subordinada): en una franja ejival, irregular, algo ondulada y que se prolonga más hacia el norte, alcanzando una longitud continua de 2.000 m por un ancho máximo de 700 m, más algunos pequeños sectores alterados, dispersos. Todo ello se centra en La Alumbrera donde, por intensidad y dimensiones, tiene esta zona su mayor importancia. Dentro de esta franja hay sectores con menos alteración que pertenecen a "colgajos" de cuarcitas que presentan craquelado interno, relleno a veces, con limonita indígena. Estos "colgajos" dan a los intrusivos su aspecto diqueiforme, pudiendo, como, ser un solo intrusivo mayor en la profundidad. Suelen aparecer pequeñas venillas e impregnaciones de crisocolla, en la roca blanqueada.

2) Un halo prosilitizado asimétrico: o por lo menos con alteración asimilable a esta fase consiste en un halo elongado y asimétrico, respecto al área sericitizada, pues su mayor desarrollo por extensión es hacia el norte y por su intensidad hacia el oeste. En parte, dentro de esta franja, que limita con la sericitizada al SW del Portacuelo de La Alumbrera, es notable una intensa piritización con altos valores geoquímicos en cobre y especialmente en plomo. En este sector

existen numerosas venillas tortuosas de cuarzo lechoso, portadoras de galena y covellina, que llegan hasta 4 cm de espesor. Existen dos pequeñas labores abandonadas, una de las cuales llega a unos 4 cm de largo. Esta mineralización metalífera fue observada también hacia el NW de la zona 1. La franja piritizada continúa bordeando la zona seriofítica hacia el norte al tiempo que se diluye la intensidad, hasta acercarse a lo normal, en la zona propilíptica.

Hacia el oeste de la zona seriofítica, en las inmediaciones del arroyo El Manzano, existe una pequeña falla NS cuyo material fue epidotizado, luego brochado y finalmente relleno con magnetita y especlarita, alcanzando un espesor de 1 m. Este fendón es común en fisuras menores en las cercanías del lugar. Allí se observa la máxima propilitización (en cuanto a intensidad), decreciendo a medida que nos alejamos de la falla mineralizada, hasta una intensidad "mediana", que se mantiene constante en todo el halo. La transición de esta intensidad "mediana"

a la baja o nula resulta bastante brusca, por lo cual el halo propilítico es fácil de delimitar, salvo hacia el norte que alcanza una longitud de unos 5 a 6 km. En esa dirección, pasando el arroyo Las Peñas, solo los intrusivos muestran epidoto-cloritización, mientras las metamorfitas están levemente piritizadas, apareciendo algunas venillas de carbonato. No se produce un largo radio de acción.

Por el lado este y sur de la zona seriofítica, la propilitización es "dibl", haciendo muy notables las venillas de calcita blanca; acercándose hacia la parte alterada aparecen venillas de cuarzo lechoso muy replegadas. A pesar de la escasa o nula presencia de clorita y epidoto, estarán dentro de la fase propilítica definida por Creasey.

Las mineralizaciones de cobre y plomo presentes, aparte de las ya mencionadas, como asociadas a la piritización, están representadas por finas venillas de calcopirita-cuarzo, cuarzo o carbonatos de cobre, que también aparecen con o sin galena, en venas de cuarzo-baritina-fluorita (violácea o blanquecina). Estas últimas al norte del puesto Las Peñas donde comienzan a aparecer también venas de baritina pura, cada vez

De más abundantes, despareciendo las portadoras de otros accesorios, ha que en la desembocadura del arroyo El Arbolito aparece una veta de baritina vertical de 2 m de espesor, cuya corrida es de 15 m, para adelante disminuirse después a unos 40 a 60 cm por un cambio de rumbo de la veta que (carácter "bolsonero").

En ninguna manifestación, salvo la veta de baritina, tiene interés económico. Cerca del Puesto Las Peñas hay dos vetas de arseno-fírita. En total se ubicaron 6 manifestaciones de cobre, 8 de plomo, 4 de magnetita y 2 de arseenopirita, además de las de baritina, fluorita, etc.

Existen datos de una manifestación aurífera en una chincuera andesítica que en el extremo sur, más no fue ubicada todavía con seguridad.

La zona alterada (incluyendo la sericitica y propilítica) alcanza con los díjimes unos 9 km de largo, por un máximo de 1.200 m de ancho, con una forma más o menos triangular, con base hacia el sur.

- e) Historia geológica: comienza en el Precámbrico con deposición de areniscas y lutitas, posteriormente intruídas por un granito biotítico que da los fenómenos de metamorfismo de bajo grado, apareciendo así la Formación Negro Peñado y el Granito Fanatina. Relacionados al mismo ciclo sigue la intrusión de pórfitos dacítico-andesíticos, riolíticos y lamprófidos. A continuación se produce un largo período de erosión que continúa con la deposición de la Formación Volcancito en el mar Ordovícico. De estos depósitos queda un solo afloramiento al sur del Nevado del Fanatina. Posiblemente en el Devónico se produce un nuevo ciclo magmático con manifestaciones efusivas andesíticas, alteración hidrotermal y mineralización asociada. Sigue un largo período de erosión que abarca hasta el Devónico Superior o Carbónico, culminando con la deposición de los estratos de Tupé y Patquia (Paganzo I y II). Posiblemente hubo deposición de sedimentos Terciarios que, han sido totalmente barridos. En el Cuartario la erosión continuó, al ser reactivado el relieve, produciéndose el descenso de la zona alterada, que estaba cubierta por el Paganzo I y su erosión ha unos 200 m de su superficie original.



ta 50% de equidistancia. De lo probado en estos sectores se deduce que la mineralización no sería Terciaria sino Devónica, por cuanto no afecta el Grupo I. El cuadro estratigráfico descripto es paralelo, en grandes rasgos, a lo expuesto en los Hojas Geológicas del Fanatina. Turner en sus hojas "Chescolnáil" y "Vinchina" encuentra dacitas (form. Planchadas) y riolito-dacitas (form. Morado) que atribuye al Devónico. En el Precárlico se supone la sucesión siguiente: tonalitas-gabbos (y sus pôrfidos, pôrfidos riolíticos, dioritas y granitos; éstos últimos los más antiguos). De Alba, si bien supone más moderno al granito, en la hoja "Villa Unión", también encuentra diques de pôrfidos riolíticos "postordovílicos" (devónicos?), que pueden comprender a las Formaciones Morado y Planchadas de Turner, e incluir también a las andesitas de Miranda. Este ciclo estaría por lo tanto, bastante bien definido. Se tienen datos que la Formación Morado es rica en minerales de plomo. Sabemos que las vetas de cobre y uranio de Sallogasta son también Devónicas (datadas por edad absoluta), por lo tanto, no sería de extrañar que este ciclo Devónico hubiera producido mineralización de cobre, plomo y uranio en la Sierra de Fanatina.

V- TÉCNICA APLICADA

Lo dividiremos en: Estudio Preliminar Orientativo y Sistématico Detallado.

A- Estudio preliminar orientativo en los filos (que son subparalelos y casi perpendiculares a la estructura en general) se efectuó un muestreo de quirillas de rocas; para cerrar la malla de muestras, se intercalaron perfiles con extracción de rocas y sedimentos, según los ríos intermedios. De esta forma se obtuvo una serie de 14 perfiles transversales y 5 paralelos a la estructura (allí donde no fue posible hacerlo en otra forma). Se trató de conservar la equidistancia de 100 m entre las muestras; en algunos sectores, poco alterados y sin interés, se la amplió al doble. La Alumbrera, la en

ta 50% de equidistancia. En la práctica estas variaciones no dieron resultados claros respecto a su eficacia. No se observó variación, según la cota topográfica, en ninguno de los cationes analizados, ni paralelismo o relación entre rocas o sedimentos salvo en Pb y Zn. En cuanto a la equidistancia, explicar más la red proporciona datos incompletos, que obligan a un resuestreo, si aparece algún resultado aceptable.

Se solicitó análisis por milímetro, en el sector que sufrió mayor alteración sercítica; sus resultados evidenciaron dos zonas con valores débilmente anómalo: una cercana al extremo norte de la zona sercítica en la cual se elevan también los valores de cobre, plomo, y zinc; la otra con similar comportamiento, está ubicada en la margen sur del río La Alumbrera, donde la alteración alcanza también su mayor intensidad. El primer sector fue desecharlo teniendo en cuenta sus pequeñas dimensiones (unas 3 hectáreas), mientras que, en el segundo para lograr datos más concretos fue necesario un muestreo por cuadrículas. Simultáneamente se fue marcando la geología en un plano a escala 1:10.000 obtenido por ampliación de la red de drenaje del mosaico fotográfico a escala 1:50.000. Al no justificarse tanto detalle, en un sector anómalo pero sin ningún interés económico, se volcó la geología en un plano a escala 1:25.000, obtenido también por ampliación. De esta manera la deformación de la red de drenaje se hizo aceptable y el error en el detalle de la geología se redujo enormemente.

B- Sistématico detallado: para proceder al muestreo por cuadrículas se empleó un topógrafo para relevar la parte más promisoria y sus alrededores. La demora en la entrega del plano nos obligó a marcar las cuadrículas en el terreno a brújula y cinta, conservando una equidistancia de 100 m. Efectuado el muestreo se obtuvieron 80 muestras de rocas. Posteriormente con el plano topográfico en nuestro poder se ajustó la geología a escala 1:10.000 con la colaboración del Dpto. de Petrografia cuyos datos nos facilitó la Dra. Norma Felici de Riggi (plano N° 3). En el plano N° 4, se muestra la distribución de los resultados analíticos de las muestras. En él se ha omitido a los cationes plomo y zinc por cuanto son muy importantes y el último coincide bastante con el plomo al qual parece asociado.-

///



DIGIT 824

La distribución del plomo muestra dos centros marginando a la zona sericitizada. El más importante tiene forma de "T" acostada y sus máximos valores (335 a 1.200 ppm) coinciden con la franja piritizada donde, como ya dijimos, aparecen venas de cuarzo con sulfuros de plomo y cobre (en el plano N° 4 se omiten el plomo y zinc para mayor claridad). El cobre tiene picos altos (hasta 230 ppm) coincidiendo en parte con el plomo, pero en líneas generales está desplazado hacia el molibdeno; aparece en forma de "fajas", entre los máximos de plomo y molibdeno, en transición hacia ambos.

El molibdeno, algo errático, aparece en varios centros, dos de ellos bien notables, dentro de la zona donde se manifiesta la sericitización. En el centro mayor hay dos sectores delimitados por cálculos estadísticos uno elongado y otro más pequeño, triangular, cuyos valores 20-14-16-22 ppm y 36-12-12-26 ppm se destacan netamente de toda la zona, con una probabilidad de aparición que oscila entre 2 % y 0,1 % (ver apéndice del sector geoquímica). Estos valores máximos coinciden con contactos andesita-cuarcitas. Para explicar este efecto se analizaron dos muestras de limonita indígena en las cuarcitas que tienen altos valores en molibdeno (uno fuera de escala), lo cual indicaría un control tipo "stockwork", característica que puede ser la causa del carácter errático del molibdeno en esta zona de alteración. Observando el plano se nota que los valores de cobre parecen aumentar cuando bajan los de molibdeno; molibdeno y plomo están en proporción inversa. En cambio cobre y plomo quedan entre sí y hasta tienen "picos" casunos (consecuencia del congelamiento estructural de la mineralización del lugar (?)) (ver perfiles I y II). Esto insinúa una zonación geoquímica prisaria que en sentido de temperatura y alteración decreciente sería: Mo → Cu → Zn e sea, relacionada a la movilidad de cada elemento.

El plomo está fuera de la zona sericitizada, el cobre aparece en ambos y el molibdeno dentro de ella. Los cambios son graduales. Debemos comentar que esta zonación parece ser común en las zonas de alteración hidrotermal, se la observa en Cerro Rico (Catamarca), y se la menciona en La Majicana (La Rioja), en Valguaraz (San Juan) y Santa Clara (Mendoza).

ESTADO DE ENERGIA Y MINERIA
SUBSECRETARIA DE MINERIA Y COMBUSTIBLES
INSTITUTO NACIONAL DE GEOLOGIA Y MINERIA

Si a esta tendencia la trasladamos en profundidad, la zona de molibdeno tendría que ser cada vez más importante (difusión primaria a partir de un intrusivo?). Esta tendencia es uno de los factores considerados, para seleccionar el sitio a explorar mediante perforaciones.-

VI- CONCLUSIONES

A- Generales

- a) La edad de la alteración y mineralización se supone Devónica por cuanto no afecta a las rocas carbónicas y Pérmicas; sus roddas se encuentran en bancos conglomeráticos del Paganze I y parecen afectar al Ordovícico Inferior. A rafas de determinaciones de edad absoluta efectuada en materiales provenientes de Sañogasta y la presencia de rocas correlacionables, de esa edad, del Fanatina se las asocia a ese ciclo, con ciertas reservas.
- b) En el lugar se observan algunas características de los yacimientos de "pórfidos de cobre"; hales de alteración hidrotermal, mineralización de sulfuros (tipo stockwerk) y diseminados por reemplazo, así como intrusivos al parecer hipabisales.
- c) Los hales de alteración muestran una zonación espacial que se dispone aproximadamente como sigue: (representada en el plano adjunto N° 2).-

/calcita → cuarzo → epidote + pirita + (escasa clorita) → pirita/
alteración prepilitica

/sericitia + pirita + sílice + caolín/
alteración sericitica

- d) Evidentemente se produjo un aporte metálico acompañado de minerales de ganga. Aparentemente existe una zonación lateral primaria que según las manifestaciones superficiales sería la siguiente:

///



~~barbitina → fluorita → calcita → plomo + cobre → pirita~~

~~que nos permite observar un lugar más favorable, dentro de la zona.~~

La zona con abundancia máxima de pirita se ubica en La Alumbrera y sus alrededores y coincide con la zona sericitizada. Al mismo tiempo dentro de este lugar, observamos una zonación geoquímica de origen prisario:



~~mineralizado en sulfuros, a solo 1000 m de distancia.~~

B- Prácticas

Tenemos hasta el momento factores que agrupan en favorables y desfavorables.

a) Factores favorables: 1- Geología: La roca que predijo la alteración y mineralización estaría representada por algún intrusivo hipabasal, irrecocible actualmente, de naturaleza andesítica, con manifestaciones brechosas superficiales y que afectó a otras rocas semejantes pero más antiguas; pérfiles ríolíticos, cuarcitas y pisarras. La fracturación de la roca es intensa.

2- Alteración y mineralización: existe zonación en los tipos de alteración, con una tendencia coincidente en general, con las manifestaciones minerales de superficie y centrada en la zona ubicada en el faldeo sur de la Qda. de La Alumbrera. Aparece allí bastante sericitita y cantidades de sulfuros o fisuras llenas de limonita. En las rocas ígneas la alteración es mariva, mientras que en las cuarcitas es vener, rellenándose en cambio las fisuras del craquelado, en forma semejante a un "stockwerk".

3- Georrafología: el relieve de la zona es relativamente maduro, a pesar del rejuvenecimiento mencionado. Por las condiciones estructurales del área, dicha reactivación produjo seguramente un descenso paulatino del nivel freático, sin que la erosión pudiera seguir el ritmo del descenso. Esto puede haber favorecido la lixiviación de la roca, con un drenaje subterráneo lento, lo cual habría producido un enriquecimiento secundario. Según los datos提供的 por la topografía, dicho nivel, o por lo menos el fin de la zona de lixiviación-oxidación, debe estar a unos 70 m de profundidad por debajo de la superficie actual, en La Alumbrera.

con mejores perspectivas 4- Zonación geoquímica: como ya dijimos existe una zonación geoquímica Pb Cu Mo, centrada en el área, del faldeo sur de La Alumbrera,

MINISTERIO DE ECONOMIA Y TRABAJO
SECRETARIA DE ESTADO DE ENERGIA Y MINERIA
SUBSECRETARIA DE MINERIA Y COMBUSTIBLES
INSTITUTO NACIONAL DE GEOLOGIA Y MINERIA

que nos permite elegir un lugar más favorable, dentro de la zona sericitizada.

El centro más rico en molibdeno sería también el más rico en cobre, pero éste ha sido casi totalmente lixiviado por la oxidación de la pirita, de allí los bajos valores, mientras que radialmente la piritización decrece y por ende disminuye la lixiviación, quedando mayor cantidad de cobre sin migrar, absorbido por minerales arcillosos, o más raramente como oxídulos. -

Este análisis pone en evidencia. De este modo quedan muy reducidas las posibilidades de

b) Factores desfavorables: 1- Los valores de molibdeno: si bien existen algunos sitios con valores elevados y notablemente anómalos en dos sectores, sus valores absolutos son apenas "medianos" pues no pasan (entre muestras elegidas) de 40 ppm. podrán hacerse extensivas a 2- La extensión: en general, si bien no puede darse consejo exacto de los perímetros, una regla fija respecto a dimensiones mínimas, los valores anómalos de molibdeno dentro de la zona sericitizada cubren áreas pequeñas (alrededor de 10 hectáreas).

3- Excesiva pirita: el informe correspondiente a 7 sección. A los 60 ó 70 m.s.n.m. (siete) muestras, investigadas por calcografía, revela que todo (o casi todo) el sulfuro presente es o fue pirita. Solo en dos muestras, sus relieves limonitizados, aparecen manchados de malaquita. Esto nos induce a pensar si alguna vez existió suficiente cobre primario como para llegar a una ley comercial, mediante un proceso de enriquecimiento secundario, o si se trata de un cuerpo de pirita disseminada ("Pirite porphyry"). -

Además, la porfiración "A" guarda ciertas similitudes con la porfiración "B", aunque que tampoco se agota para el desarrollo de la mineralización.

VII- RECOMENDACIONES 2 los del lugar.

Las cifras de abundancia de los minerales y su distribución, de acuerdo a los análisis realizados, nos dan la posibilidad de establecer dos sectores principales "A" y "B", (plano N° 4) que es donde se presentan los máximos valores de la mineralización, tanto para el desarrollo de la porfiración "A" como para la "B".

De acuerdo a las conclusiones expuestas se han seleccionado dos lugares, denominados "A" y "B", (plano N° 4) que es donde se presentan los máximos valores de molibdeno, dentro de la zona más sericitizada y limonitizada. La presunta sericitación primaria de la mineralización serienta al igual que los halos de alteración hacia el mismo sector. Al mantenerse las condiciones, esta sería la parte más favorable para ver desarrollarse la mineralización.

Con mejores perspectivas pues coinciden los factores favorables (alteración y sulfato de hierro) con los factores desfavorables (exceso de pirita).



ción, anomalías en molibdeno, buenas condiciones topográficas, sonación mineral, sonación geoquímica, limonita indígena).

Dijimos que hay numerosos indicios de alteración y mineralización; aparentemente las condiciones geográficas son buenas; todo o casi todo el sulfuro fue pirita; los valores son altos en molibdeno pero no mucho, bastante erráticos y forman un área anfóula poco extensa. De este modo quedan muy reducidas las posibilidades de existencia de un yacimiento grande de leyes con valor económico. No obstante sería conveniente eliminar dudas, porque si la zona de interés es pequeña, será fácil llegar a conclusiones definitivas con pocas perforaciones y los resultados podrán hacerse extensivos a zonas con similares características. Por ello, se aconseja realizar dos perforaciones, con extracción de testigos en los puntos "A" y "B" (marcados en el plano N° 4) con lo cual quedaría definitivamente descartado el área o bien se justificarían otros sondajes. Sería conveniente que la profundidad fuera de 100 m con los cuales estaríamos indiscutiblemente en plena zona primaria. A los 60 ó 70 m, ya seguramente se habrá entrado en el proter, según los cálculos aproximados que hemos efectuado en geomorfología.

Ambas perforaciones están muy cerca de vertientes naturales de agua que, por ser demasiado ácidas no resultan potables pero que pueden servir para la inyección. Al no tener idea de la pérdida de inyección resulta imposible calcular el consumo de la máquina, pero es de suponer que un stock permanente de unos 600 ls., es suficiente. La perforación "A" puede contar con un caudal de hasta 2 ls/seg., la perforación "B" contará con un caudal de unos 4 ls/seg. en el mismo río La Alumbra, agua que tempece es apta para el consumo; el resto puede extraerse del arroyo Huanzane a unos 2 km del lugar.

Los sitios de ubicación de las perforaciones no requieren mayormente excavaciones a pala, pues son afloramientos firmes y resultan cómodos tanto para instalar la máquina, como para el trabajo de los perforistas.

Del análisis de los testigos dependerán los resultados económicos, tanto para desechar la zona como para planificar tareas complementarias. En cualquier caso servirá para ver cuál fue la mineralización originaria en el proter, el avance y la intensidad logrados por la oxidación y lixiviación y si existe o no, un enriquecimiento secundario.-

probabilidad de aparición o formación al conjunto, sin tener en cuenta los
 valores individuales de APÉNDICE GEOQUÍMICO
 (por Dr. Jorge A. Ortiz).- por separado.

Paralelo al geológico-estructural (P-II^o), se elaboró un perfil geológico,
 observándose en él, un evidente control estructural de la mineralización, de-
 talizando también, aunque en menor escala en el pliego N° 4.

Efectuado el estudio estadístico de los valores de los análisis practicados en las
 muestras, se obtuvieron como resultados, los indicados en el siguiente cuadro:

	Fluctuación del fondo los valores de superficie son relativos ppm		Límite de fluctuación del elemento ppm	Correlación
ANDESITA	Cu 25 por 68 sobre 50 m, aproximadamente, del punto de origen donde las con- centraciones	25	3	590
	No. 2 5		0	29
DACITA	Cu 34 53		3	580
	No. 4 7		0	81
METAMÓRFICA	Cu 18 28		4	130
	No. 5 9		0	76

Las aflorantes reconocibles de la Formación Andesítica, existen en escasas cantidades y su grado de alteración es inferior al de las otras formaciones; posiblemente por ello, los valores de fluctuación son más bajos en ésta; motivo por el cual se obtuvieron pocas muestras durante la prospección, hecho éste que se refleja en la elaboración de los cálculos (los valores de la variación selectiva (S) son bastante altos).

Se confecciona con los datos expuestos, curvas que muestran la distribución del Cu y Mo dentro de ésta área (mapa N° 4). Las curvas encierran zonas de valores con igual

MINISTERIO DE ECONOMIA Y TRABAJO
SECRETARIA DE ESTADO DE ENERGIA Y MINERIA
SUBSECRETARIA DE MINERIA Y COMBUSTIBLES
INSTITUTO NACIONAL DE GEOLOGIA Y MINERIA

probabilidad de aparición e involucran al conjunto, sin tener en cuenta los tenores individuales de Cu y Mo en cada formación por separado.

Paralelo al geológico-estructural (I-II^e), se elaboró un perfil geoquímico, observándose en él, un evidente control estructural de la mineralización, detalle evidenciado también, aunque en menor escala en el plano N° 4.

En la zona limítrofe de los valores más altos en Cu y Mo (probabilidad menor de 0,1 %), fueron situados dos puntos para realizar perforaciones, dque aportarán datos más definitivos sobre la formación que nos ocupa, sin cuando los valores de superficie sean relativamente pobres.

Sin embargo, y por razones topográficas, las perforaciones han sido desplazadas 50 m, aproximadamente, del punto de origen donde las condiciones se mantienen.-

-----⁰0-----



esta documentación

PLACITA

CONTRACCIONES CUADR. - HOLLOW



No	6	7	25	9	2	△	Cu No
8	2	2	35	2	7	0	19
36	13	13	10	2	21	2	121
2	2	2	25	6	4	6,5	16
8	7	7	230	13	6	2,5	36
12	9	10	20	4	6	2,5	36
12	10	10	5	1	9	2,5	31
12	11	10	25	7	3	3,5	9
8	8	7	35	10	3	0	9
4	4	4,5	45	11	6,5	0	42
2	3	2	195	12	10		100
20	12	12	25	8	4		16
4	5	4,5	15	3	1,5		3

Sin correlación



ESTANDARIZADA
CONSTITUCION COBRE - NIQUEL

No. Cu Cu No.

2	1	1,5	5	2	1,5	0	0
4	3	3,5	5	2	2,5	2	4
2	2	1,5	70	8	8	6,5	42
10	7,7	7 17,5	25	4	4,5	2,5	6
6	5	5 1/4	10	3	3	2	4
4	4	3,5	45	7	7	3,5	12
22	8	8 1/2	15	5	4,5	3,5	12
8	6	6 1/2	35	6	6	0	<u>0</u>

Sin corveación

MINISTERIO DE ECONOMIA Y TRABAJO
SECRETARIA DE ESTADO DE ENERGIA Y MINERIA
SUBSECRETARIA DE MINERIA Y COMBUSTIBLES
INSTITUTO NACIONAL DE GEOLOGIA Y MINERIA

METAMORFICA



Correlación con - Volcánico

No	18	17,5	15	6	6	11,5	Cu No
A p. 2 - del 1	2	2	5	14	14,5	12,5	132
en elimitación 5	6	85	18	18	12		156
y tipo de aluminio 6	6	35	13	13	7		244
26	27	17,5	65	17	17	0,5	2
Rocas 12 - 21-24	14	25	8	9,5	4,5		20
Rocas 6	9	20	55	16	16	6	36
6	10	10	5	1			64
10	13	13	25	9	9,5	3,5	12
7	6	5	2		4		16
14	15	15	5	15	14,5	0,5	2
16	16	16	25	10	9,5	6,5	42
6 (7) 11	10	20	7	7	3		9
2	2	2	5	3	2	0	0
8	6	30	12	12	6		36
2	3	2	10	4	4,5	2,5	6
2	4	2	10	5	4,5	2,5	6
6	12	10	25	11	9,5	0,5	
							2
Signatura 20 10020-21030-31020-32020							

Dosificación

Los productos de alteración son: clorita, epidota, cuarzo, albina, feldespato, mica, clorita, óxido de hierro (no sin correlación)



y epidote. Dado mencionar la silicificación que acompaña generalmente al cuarzo.

En el anexo de las muestras 31895-31899 el material opaco, pirita (?).

APÉNDICE PETROGRÁFICO
(por el Dr. Boemí Felid de Niggi)

Muestra N° 34029-34030

Rielita (?)

MOSAICO 48A

Los feldespatos de plagioclasa se hallan totalmente alterados en sericitas. Los minerales férricos en óxido de hierro (magnetita-hematita), por lo tanto es muy difícil dar una identificación a esta roca; por el tipo de turbura y su composición. A pedido del geólogo Eduardo H. Peralta, el estudio de las muestras consistió en su clasificación sin la correspondiente descripción petrográfica incluyendo el grado y tipo de alteración imperante en la roca.-

Muestra N° 31895-31893

Muestra N° 31642

Rielita

Los productos de alteración son: plagioclasa, gneissal o totalmente alterada en óxido de hierro. No se observa ningún tipo de alteración, pero si, una intensa silicificación. El corte es atravesado por numerosas fracturas llenas con sericitas y óxido de hierro (magnetita-hematita).

En la muestra N° 31900, el epidote se presenta como relleno de fractura.-

Además de los cuarzo-pyroxitas, observadas en la muestra N° 31891.-

Muestra N° 31896-31894

Riodacita (?)

Tanto el feldespato potásico como la plagioclasa, se hallan alteradas en material arcilloso y sericitico respectivamente. El mineral férrico en clorita y óxido de hierro. Esta roca es muy rica en material opaco, pirita (?). Es muy intensa la impresión limonítica. Este último no observado en la muestra N° 31894.- Contraria la plagioclasa algo ablatizada y se presenta en follaje totalmente friso en material opaco de escasa.

Muestra N° 34031-34030-34029-31899

Dacita-

Los productos de alteración según el orden decreciente de intensidad son: carbonato, clorita, óxido de hierro (hematita, limonita con escasa magnetita), sericitas.



y epidoto. Cabe mencionar la silicificación que acompaña generalmente al carbonato.

Es abundante en las muestras N° 34030 y 34029 el material opaco, pirita (?).-

La alteración es intensa, con formación de cuarzo y carbón y presencia de feldespatos, cloritas impregnadas por óxido de hierro, glicinas de hierro y sericitas.
Muestra N° 34019-34020 epidoto proveniente de los fénicos. Son comunes las sericitas (?) llenadas por hematita-limonita.

Los fenocristales de plagioclasa se hallan totalmente alterados en sericitas. Los minerales fénicos en óxido de hierro (magnetita-hematita), por lo tanto es muy difícil dar una clasificación a esta roca; por el tipo de textura y su composición premedio parece tratarse de una dacita.

Son numerosas las fracturas llenas por óxido de hierro.- Segundo: las sericitas de la roca. Se ven fenocristales de un probable feldespato totalmente alterado en silice y sericitas; los de los mineralos fénicos son epidoto, óxido de hierro y glicinas entre los cuales se encuentran en la parte.

Pórfido dacítico

Los productos de alteración son: plagioclasa, parcial e totalmente alterada en sericitas, con inclusión, epidoto; mineral fénico, totalmente alterado en clorita (penninita), epidoto (zeicita), e impregnación de óxido de hierro; feldespato potásico escasamente alterado en material arcilloso. Alterado la textura original en conformidad con la formación de óxido de hierro.

Hay que destacar la intensísima alteración limonítica que impregnó a la totalidad de los constituyentes, observada en la muestra N° 31893.- óxido de hierro, clorita, en textura gruesa fino.

Muestra N° 34003-34009-34011-34012-34013-34016-25892

Andesita

Roca relativamente fresca, contiene como minerales de alteración serpentina, glicinas y algo de titanita, provenientes de la descomposición de fénicos, por el contrario la plagioclasa algo albítizada y el piroxeno se hallan totalmente frescos a la alteración de fénicos.
El material opaco es escaso.

En la muestra N° 25892, es destacable la presencia de fisuras llenas por carbonato como en sellado de fracturas anteriormente a la muestra N° 34007.-

///



Muestra N° 34010

Rocas ígneas

La alteración es intensa, con formación de sericitas y carbonato a partir de los feldespatos; cloritas impregnadas por óxidos de hierro, óxidos de hierro (magnetita-hematita) y escaso epidote proveniente de los fémicos. Son numerosas las fracturas llenadas por hematita-limonita.-

Muestras N° 31892-34008-34015

Muestra N° 34004

Roca volcánica alterada en sericitas proveniente de los feldespatos, algo de clorita.

Debido al intenso grado de alteración ha sido imposible determinar los constituyentes de la roca. Se ven fenocristales de un probable feldespato totalmente alterado en: sílice y sericitas; los de los minerales fémicos en: epidote, óxido de hierro y sílice, productos estos que los llevamos a encontrar en la pasta.-

Muestras N° 34017-31897-34014

Rocas metamórficas

Muestra N° 34018: Los cloritos se hallan algo mineralizada y cloritizada.

Roca silicificada: se observa como la proporción ha sido sublevada por epidote.

A demás de la intensa silicificación que ha obliterado la textura original encontramos zonas muy irregulares que hacen recordar la presencia de una roca metamórfica compuesta de: abundante muscovita, sericitas, epidote, óxidos de hierro, clorita, en textura granosa fina.-

Muestra N° 34006

Limonita

Muestra N° 31898-34005-34007: Fracturas que se disponen p. tangenciales, rellenas

Roca silicificada (hematita-limonita).-

Consiste en un mosaico granular entre fino a afanítico constituido por cuarzo y escasa muscovita. El óxido de hierro presente (hematita-magnetita) parece deberse a la alteración de fémico.

Muestra N° 34002 La profusión de material espacioso y la presencia de epidote que aparece tanto en

Solo encontramos una leve impregnación que dada su blanca y la proximidad de

grano como en relleno de fractura caracterizan a la muestra N° 34007.-

una fractura sellada por hematita y cuarzo y cuarzo nativo.-

|||||



Muestra N° 34001

Granito milonitizado

La roca es muy fresca. Hay numerosas fracturas rellenas por clorita e impregnadas por óxido de hierro (hemato-magnetita) y profusión de gránulos de cuarzo cristalografico, epidote.-

Hay grano irregular en cuadro a la vista y tambo relleno por cuarzo.-

Muestra N° 31892-34008-34015

Muestra N° 31897

Arenisca (?)

La alteración consiste en sericitia proveniente de los feldespatos, algo de clorita posiblemente originada a partir de los minerales férmicos, escasa impregnación limonítica y abundante presencia de material opaco.- En una parte grande, una concreción de plagioclasa, todo o mayormente saturada en sericitia y en uno carbónico, con numerosas fracturas rellenas por cuarzo.

Muestra N° 34017-31897-34014

Brecha de cuarzo intercaladas y una probable sulfuro filigrana.

La matriz que une los clastos se halla algo sericitizada y cloritizada.
Las fracturas que atraviesan la preparación han sido llenadas por epidote, sflice (calcedonia ?) y óxido de hierro.

En la muestra N° 34014, el material opaco es abundante.-

Muestra N° 34006

Limenita

El corte es atravesado por fracturas que se ensanchan y anastosan, llenas por óxido de hierro (hematita-limenita).-

Muestra N° 34002

Pizarra

Solo encontramos una leve impregnación por óxidos de hierro y la presencia de una fractura rellena por hematita y cuarzo fibroso columnar.-

///

MINISTERIO DE ECONOMIA Y TRABAJO
SECRETARIA DE ESTADO DE ENERGIA Y MINERIA
MINISTERIO DE ECONOMIA Y TRABAJO
SECRETARIA DE ESTADO DE ENERGIA Y MINERIA
SUBSECRETARIA DE MINERIA Y COMBUSTIBLES
INSTITUTO NACIONAL DE GEOLOGIA Y MINERIA
Muestra N° 32786

-26-

Chert

Con Foto N° 16
Consiste en un mosaico microcristalino de cuarzo, extinción ondulada y numerosas inclusiones fluidas. Se observan pequeñas zonas de sericitas, carbonato, y óxidos de hierro, posiblemente se trate de un fénico alterado aunque no se ven los contornos cristalográficos.

Hay guías irregulares en cuanto a forma y tamaño llenadas por cuarzo.-

Muestra N° 32787 - Piso perteneciente al pagase I.-

Muestra N° 32787

Roca volcánica alterada (?)

Debido a la intensa alteración, es difícil arribar a una clasificación correcta de la muestra. Lo destacable es su carácter perifídico en una pasta afanítica, con fencristales de plagioclasa, total o parcialmente alterada en sericitas y escaso carbonato, con numerosas fracturas llenadas por epidote.

El mineral fénico, está totalmente alterado en epidote y óxido de hierro quedando algo de silex microcristalina y un probable anfibol fibroso.

La muestra contiene numerosas guías de diseño sinuoso, espesores variados llenadas por epidote, que probablemente provenga de la alteración de fénicos.-

Muestra N° 34004 - Piso Pertenece de la sección

--- 00 ---

Solo se observan paseos que han conservado las formas de los anfibolos metacristalinos ($NaAlSi_3O_8$) e hidrólisis de $NaAlSi_3O_8$.

Muestra N° 34005 - Piso Pertenece de la sección

Roca fuertemente alterada y tallada por la alteración, la roca es de color general oscuro.-

NOTA: Las muestras N° 32786 y 32787, son rodados incluidos en el Pagase I.-

Muestra N° 34004 - Piso Sur Alusivo

Roca fuertemente silicificada en la que solo se ven los restos de fénicos.



Muestras de rocas posiblemente por pirita totalmente alteradas.-

APÉNDICE CALCOGRÁFICO-MINERALÓGICO

(Por Hna. M. de Raneo).--

Muestra N° 31639.- File Sur Alumbrera

Consta un 90 % de la muestra casi constituida por minerales transparentes, sólo hay una deposición de hematita alrededor de granos, en películas muy delgadas. MOSAICO 48A
Son abundantes los minerales de color negro. Los minerales de granos.-

Muestra N° 31642.- Perfil orientativo N° 5

Constituida casi totalmente por minerales transparentes. Se puede observar un condensorismo de pirita (?) completamente alterada a hidróxidos de hierro y reemplazada por calcita y malacita. Hay granos muy pequeños de hematita diseminados en la ganga.-

Muestra N° 31900.- File Norte Alumbrera

Roca fuertemente silicificada. Escasa pirita fresca diseminada. La mayor parte de los granos están totalmente reemplazada por enatblenda ($FeSiO_3$), otros hidróxidos de hierro, malacita y cuarzo (?).-

Muestra N° 34004.- File Portezuelo de La Alumbrera

Sólo se observan pequeños cubitos acudenoríferos de pirita que están compuestos de enatblenda ($FeSiO_3$) e hidróxidos de hierro.-

Muestra N° 34006.- File Portezuelo de La Alumbrera

Roca fuertemente alterada y teñida por óxido de hierro. No se observa ningún mineral opaque.-

Muestra N° 34014.- File Sur Alumbrera

Roca fuertemente silicificada en la que sólo hay algo de malacita y orificios //

yacimientos posiblemente por pirita totalmente alterada.-

Muestra N° 34019.- File Sur Alumbreera

Casi un 99 % de la muestra esté constituida por minerales transparentes. Sólo hay una depositación de hematita alrededor de granos, en películas muy delgadas. Son abundantes los hidróxidos de hierro entre los minerales de ganga.-

Muestra N° 34031.- File de las Rielitas

Constituida casi totalmente por ganga de minerales transparentes. Sólo se observan algunos cristales de pirita ubicados en fisuras. Se observa el paso de ésta a hidróxidos de hierro, por alteración.-

---⁰0---

Interv. X	X	Log. X	f, Log. X	(log. X - f, log. X)
1000	1000	3.000	2.997	2.997
1000	1000	3.000	2.998	2.998
1000	1000	3.000	2.999	2.999
1000	1000	3.000	3.000	3.000
1000	1000	3.000	3.001	3.001
1000	1000	3.000	3.002	3.002
1000	1000	3.000	3.003	3.003
1000	1000	3.000	3.004	3.004
1000	1000	3.000	3.005	3.005
1000	1000	3.000	3.006	3.006
1000	1000	3.000	3.007	3.007
1000	1000	3.000	3.008	3.008
1000	1000	3.000	3.009	3.009
1000	1000	3.000	3.010	3.010
1000	1000	3.000	3.011	3.011
1000	1000	3.000	3.012	3.012
1000	1000	3.000	3.013	3.013
1000	1000	3.000	3.014	3.014
1000	1000	3.000	3.015	3.015
1000	1000	3.000	3.016	3.016
1000	1000	3.000	3.017	3.017
1000	1000	3.000	3.018	3.018
1000	1000	3.000	3.019	3.019
1000	1000	3.000	3.020	3.020
1000	1000	3.000	3.021	3.021
1000	1000	3.000	3.022	3.022
1000	1000	3.000	3.023	3.023
1000	1000	3.000	3.024	3.024
1000	1000	3.000	3.025	3.025
1000	1000	3.000	3.026	3.026
1000	1000	3.000	3.027	3.027
1000	1000	3.000	3.028	3.028
1000	1000	3.000	3.029	3.029
1000	1000	3.000	3.030	3.030
1000	1000	3.000	3.031	3.031
1000	1000	3.000	3.032	3.032
1000	1000	3.000	3.033	3.033
1000	1000	3.000	3.034	3.034
1000	1000	3.000	3.035	3.035
1000	1000	3.000	3.036	3.036
1000	1000	3.000	3.037	3.037
1000	1000	3.000	3.038	3.038
1000	1000	3.000	3.039	3.039
1000	1000	3.000	3.040	3.040
1000	1000	3.000	3.041	3.041
1000	1000	3.000	3.042	3.042
1000	1000	3.000	3.043	3.043
1000	1000	3.000	3.044	3.044
1000	1000	3.000	3.045	3.045
1000	1000	3.000	3.046	3.046
1000	1000	3.000	3.047	3.047
1000	1000	3.000	3.048	3.048
1000	1000	3.000	3.049	3.049
1000	1000	3.000	3.050	3.050
1000	1000	3.000	3.051	3.051
1000	1000	3.000	3.052	3.052
1000	1000	3.000	3.053	3.053
1000	1000	3.000	3.054	3.054
1000	1000	3.000	3.055	3.055
1000	1000	3.000	3.056	3.056
1000	1000	3.000	3.057	3.057
1000	1000	3.000	3.058	3.058
1000	1000	3.000	3.059	3.059
1000	1000	3.000	3.060	3.060
1000	1000	3.000	3.061	3.061
1000	1000	3.000	3.062	3.062
1000	1000	3.000	3.063	3.063
1000	1000	3.000	3.064	3.064
1000	1000	3.000	3.065	3.065
1000	1000	3.000	3.066	3.066
1000	1000	3.000	3.067	3.067
1000	1000	3.000	3.068	3.068
1000	1000	3.000	3.069	3.069
1000	1000	3.000	3.070	3.070
1000	1000	3.000	3.071	3.071
1000	1000	3.000	3.072	3.072
1000	1000	3.000	3.073	3.073
1000	1000	3.000	3.074	3.074
1000	1000	3.000	3.075	3.075
1000	1000	3.000	3.076	3.076
1000	1000	3.000	3.077	3.077
1000	1000	3.000	3.078	3.078
1000	1000	3.000	3.079	3.079
1000	1000	3.000	3.080	3.080
1000	1000	3.000	3.081	3.081
1000	1000	3.000	3.082	3.082
1000	1000	3.000	3.083	3.083
1000	1000	3.000	3.084	3.084
1000	1000	3.000	3.085	3.085
1000	1000	3.000	3.086	3.086
1000	1000	3.000	3.087	3.087
1000	1000	3.000	3.088	3.088
1000	1000	3.000	3.089	3.089
1000	1000	3.000	3.090	3.090
1000	1000	3.000	3.091	3.091
1000	1000	3.000	3.092	3.092
1000	1000	3.000	3.093	3.093
1000	1000	3.000	3.094	3.094
1000	1000	3.000	3.095	3.095
1000	1000	3.000	3.096	3.096
1000	1000	3.000	3.097	3.097
1000	1000	3.000	3.098	3.098
1000	1000	3.000	3.099	3.099
1000	1000	3.000	3.100	3.100
1000	1000	3.000	3.101	3.101
1000	1000	3.000	3.102	3.102
1000	1000	3.000	3.103	3.103
1000	1000	3.000	3.104	3.104
1000	1000	3.000	3.105	3.105
1000	1000	3.000	3.106	3.106
1000	1000	3.000	3.107	3.107
1000	1000	3.000	3.108	3.108
1000	1000	3.000	3.109	3.109
1000	1000	3.000	3.110	3.110
1000	1000	3.000	3.111	3.111
1000	1000	3.000	3.112	3.112
1000	1000	3.000	3.113	3.113
1000	1000	3.000	3.114	3.114
1000	1000	3.000	3.115	3.115
1000	1000	3.000	3.116	3.116
1000	1000	3.000	3.117	3.117
1000	1000	3.000	3.118	3.118
1000	1000	3.000	3.119	3.119
1000	1000	3.000	3.120	3.120
1000	1000	3.000	3.121	3.121
1000	1000	3.000	3.122	3.122
1000	1000	3.000	3.123	3.123
1000	1000	3.000	3.124	3.124
1000	1000	3.000	3.125	3.125
1000	1000	3.000	3.126	3.126
1000	1000	3.000	3.127	3.127
1000	1000	3.000	3.128	3.128
1000	1000	3.000	3.129	3.129
1000	1000	3.000	3.130	3.130
1000	1000	3.000	3.131	3.131
1000	1000	3.000	3.132	3.132
1000	1000	3.000	3.133	3.133
1000	1000	3.000	3.134	3.134
1000	1000	3.000	3.135	3.135
1000	1000	3.000	3.136	3.136
1000	1000	3.000	3.137	3.137
1000	1000	3.000	3.138	3.138
1000	1000	3.000	3.139	3.139
1000	1000	3.000	3.140	3.140
1000	1000	3.000	3.141	3.141
1000	1000	3.000	3.142	3.142
1000	1000	3.000	3.143	3.143
1000	1000	3.000	3.144	3.144
1000	1000	3.000	3.145	3.145
1000	1000	3.000	3.146	3.146
1000	1000	3.000	3.147	3.147
1000	1000	3.000	3.148	3.148
1000	1000	3.000	3.149	3.149
1000	1000	3.000	3.150	3.150
1000	1000	3.000	3.151	3.151
1000	1000	3.000	3.152	3.152
1000	1000	3.000	3.153	3.153
1000	1000	3.000	3.154	3.154
1000	1000	3.000	3.155	3.155
1000	1000	3.000	3.156	3.156

(I)

$P(\log x - \log \bar{x})^3$	$P(\log x - \log \bar{x})^4$	Observaciones
-0,40	0,05	4. 2,300
0,23	0,10	
0,03	0,02	Media de observación obtenido en la sombra
2,29	1,25	
3,66	3,92	0,75
1,45	11,53	(3 mm) (50 mm)
-1,35	-0,39	Media de fluctuación del fondo
		3,07
		$\frac{3,00 + 3,07 + 0,07}{3} = 2,173$
		(3 mm) (50 mm)
		$\frac{0,07 + 0,02}{2} = 0,045$
		3
		MOSAICO
		Indita (ca)



(I)

$$f(\log x - \log \Sigma)^3$$

$$f(\log x - \log \Sigma)^4$$

Observaciones

$f(\log x - \log \Sigma)^3$	$f(\log x - \log \Sigma)^4$	Limites de fluctuación suspendido en la escala	$\frac{f(\log x - \log \Sigma)^3}{f(\log x - \log \Sigma)^4}$	$\frac{f(\log x - \log \Sigma)^3}{f(\log x - \log \Sigma)^4} < 3$	MOSAIKO Densidad
2,06	1,14	± 2,20	1,80		
0,32	0,20		1,60		
0,01	0,01		0,14		
0,23	0,01		1,00		
1,02	1,04		1,00		
0,49	0,00	0,43	3,50	7,2 DIA	
0,40 ± 0,12	2,00 ± 2,00				
3,50 ± 0,30	2,00 ± 0,50				
0,32 ± 0,2	3,00 ± 2,00				
0,32 ± 0,2	3,00 ± 2,00				



(I)

$f(\log_{10} x - \log_{10} z)^3$	$f(\log_{10} x - \log_{10} z)^4$	Observaciones
1,33	1,37	
0,36	0,09	
0,02	0,02	Fluctuación constante
0,01	0,01	
0,14	0,23	
2,71	2,77	
1,61	1,16	0,45
1,71	(3 mm)	(500 nm)
0,79	2,21	Fluctuación del fondo
1,53	0,68	
0,59	3,00	0,50 ± 0,10
1,59	1,61	0,22 ± 0,39
1,20	1,19	1,00
0,40	0,41	(25 nm) (60 nm)
1,20	< 3	
1,20	< 3	
		MOSAICO Andostra (ca)

(I)

$$x(\log x - \log \bar{x})^3$$

$$f(\log x - \log \bar{x})^4$$

Observaciones

$$0,260$$

$$0,017$$

$$0,007$$

$$0,355$$

$$0,508$$

$$0,637$$

$$\frac{0,612}{0,850} = 0,72$$

Muestras encajadas del fondo

$$0,003 \quad 0,003 \quad 0,003$$

$$0,003 \quad 0,003 \quad 0,003$$

$$0,003 \quad 0,003 \quad 0,003$$

$$\frac{0,22}{0,49} = 0,44 < 3$$

$$3,00 + 2,33 = 0,67$$

$$\frac{0,69}{1,20} = 0,56 < 3$$

MONAICO

Aprendizaje



(I)

Interv. x	f	Log. x	f · log. x	(log. x - log. \bar{x})	$f_0 (\log. x - \log. \bar{x})$	OBSERVACIONES
5	0	0,69	0,69	-0,07	0,14	
10	2	1,04	2,08	0,36	0,24	
15	0	1,32	0	0,36	0,12	
20	0	1,63	0	0,65	0,03	
25	2	1,92	3,84	0,96	0,32	
30	0	2,23	0	1,26	0,07	
35	6	2,52	15,12	1,57	0,94	
40	0	2,83	0	1,92	0,32	
45	36	3,12	112,32	2,27	1,36	
50	0	3,43	0	2,63	0,16	
55	0	3,73	0	3,00	0,16	
60	0	4,04	0	3,36	0,16	
65	0	4,35	0	3,72	0,16	
70	0	4,66	0	4,08	0,16	
75	0	5,00	0	4,44	0,16	
80	0	5,31	0	4,80	0,16	
85	0	5,62	0	5,16	0,16	
90	0	5,93	0	5,52	0,16	
95	0	6,24	0	5,88	0,16	
100	0	6,55	0	6,24	0,16	
105	0	6,86	0	6,60	0,16	
110	0	7,17	0	6,96	0,16	
115	0	7,48	0	7,32	0,16	
120	0	7,79	0	7,68	0,16	
125	0	8,10	0	8,04	0,16	
130	0	8,41	0	8,40	0,16	
135	0	8,72	0	8,76	0,16	
140	0	9,03	0	9,12	0,16	
145	0	9,34	0	9,48	0,16	
150	0	9,65	0	9,84	0,16	
155	0	10,00	0	10,16	0,16	
160	0	10,31	0	10,48	0,16	
165	0	10,62	0	10,84	0,16	
170	0	10,93	0	11,16	0,16	
175	0	11,24	0	11,48	0,16	
180	0	11,55	0	11,84	0,16	
185	0	11,86	0	12,16	0,16	
190	0	12,17	0	12,48	0,16	
195	0	12,48	0	12,84	0,16	
200	0	12,79	0	13,16	0,16	
205	0	13,10	0	13,48	0,16	
210	0	13,41	0	13,84	0,16	
215	0	13,72	0	14,16	0,16	
220	0	14,03	0	14,48	0,16	
225	0	14,34	0	14,84	0,16	
230	0	14,65	0	15,16	0,16	
235	0	15,00	0	15,48	0,16	
240	0	15,31	0	15,84	0,16	
245	0	15,62	0	16,16	0,16	
250	0	16,00	0	16,48	0,16	
255	0	16,31	0	16,84	0,16	
260	0	16,62	0	17,16	0,16	
265	0	17,00	0	17,48	0,16	
270	0	17,31	0	17,84	0,16	
275	0	17,62	0	18,16	0,16	
280	0	18,00	0	18,48	0,16	
285	0	18,31	0	18,84	0,16	
290	0	18,62	0	19,16	0,16	
295	0	19,00	0	19,48	0,16	
300	0	19,31	0	19,84	0,16	
305	0	19,62	0	20,16	0,16	
310	0	20,00	0	20,48	0,16	
315	0	20,31	0	20,84	0,16	
320	0	20,62	0	21,16	0,16	
325	0	21,00	0	21,48	0,16	
330	0	21,31	0	21,84	0,16	
335	0	21,62	0	22,16	0,16	
340	0	22,00	0	22,48	0,16	
345	0	22,31	0	22,84	0,16	
350	0	22,62	0	23,16	0,16	
355	0	23,00	0	23,48	0,16	
360	0	23,31	0	23,84	0,16	
365	0	23,62	0	24,16	0,16	
370	0	24,00	0	24,48	0,16	
375	0	24,31	0	24,84	0,16	
380	0	24,62	0	25,16	0,16	
385	0	25,00	0	25,48	0,16	
390	0	25,31	0	25,84	0,16	
395	0	25,62	0	26,16	0,16	
400	0	26,00	0	26,48	0,16	
405	0	26,31	0	26,84	0,16	
410	0	26,62	0	27,16	0,16	
415	0	27,00	0	27,48	0,16	
420	0	27,31	0	27,84	0,16	
425	0	27,62	0	28,16	0,16	
430	0	28,00	0	28,48	0,16	
435	0	28,31	0	28,84	0,16	
440	0	28,62	0	29,16	0,16	
445	0	29,00	0	29,48	0,16	
450	0	29,31	0	29,84	0,16	
455	0	29,62	0	30,16	0,16	
460	0	30,00	0	30,48	0,16	
465	0	30,31	0	30,84	0,16	
470	0	30,62	0	31,16	0,16	
475	0	31,00	0	31,48	0,16	
480	0	31,31	0	31,84	0,16	
485	0	31,62	0	32,16	0,16	
490	0	32,00	0	32,48	0,16	
495	0	32,31	0	32,84	0,16	
500	0	32,62	0	33,16	0,16	
505	0	33,00	0	33,48	0,16	
510	0	33,31	0	33,84	0,16	
515	0	33,62	0	34,16	0,16	
520	0	34,00	0	34,48	0,16	
525	0	34,31	0	34,84	0,16	
530	0	34,62	0	35,16	0,16	
535	0	35,00	0	35,48	0,16	
540	0	35,31	0	35,84	0,16	
545	0	35,62	0	36,16	0,16	
550	0	36,00	0	36,48	0,16	
555	0	36,31	0	36,84	0,16	
560	0	36,62	0	37,16	0,16	
565	0	37,00	0	37,48	0,16	
570	0	37,31	0	37,84	0,16	
575	0	37,62	0	38,16	0,16	
580	0	38,00	0	38,48	0,16	
585	0	38,31	0	38,84	0,16	
590	0	38,62	0	39,16	0,16	
595	0	39,00	0	39,48	0,16	
600	0	39,31	0	39,84	0,16	
605	0	39,62	0	40,16	0,16	
610	0	40,00	0	40,48	0,16	
615	0	40,31	0	40,84	0,16	
620	0	40,62	0	41,16	0,16	
625	0	41,00	0	41,48	0,16	
630	0	41,31	0	41,84	0,16	
635	0	41,62	0	42,16	0,16	
640	0	42,00	0	42,48	0,16	
645	0	42,31	0	42,84	0,16	
650	0	42,62	0	43,16	0,16	
655	0	43,00	0	43,48	0,16	
660	0	43,31	0	43,84	0,16	
665	0	43,62	0	44,16	0,16	
670	0	44,00	0	44,48	0,16	
675	0	44,31	0	44,84	0,16	
680	0	44,62	0	45,16	0,16	
685	0	45,00	0	45,48	0,16	
690	0	45,31	0	45,84	0,16	
695	0	45,62	0	46,16	0,16	
700</td						

$f(\log_x z - \log_x \bar{z})^3$	$f(\log_x z - \log_x \bar{z})^4$	Observaciones
0,21	0,16	• • 0,003
0,07	0,03	
0,03	0,02	Fluctuación anómala del elemento en la formación
0,22	0,06	
-0,09	0,00	130 mm
0,07	0,00	
		Fluctuación del fondo
0,27 ± 0,09	0,12 ± 0,14	
1,03	0,10	15 mm
0,12 ± 0,03	3,0 ± 2,4 ± 0,6	20 mm
0,12 ± 0,03	0,6 ± 0,7 < 3	
		MOSAICO
		Intercolumnias (cm)

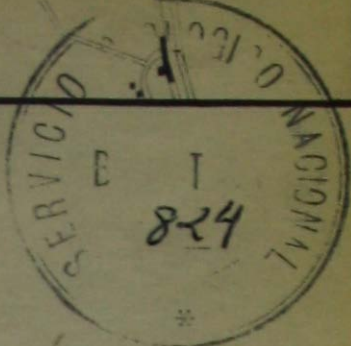


(I)

$f(\log_x z - \log_x \bar{z})^3$	$f(\log_x z - \log_x \bar{z})^4$	Observaciones
0,66	0,07	4124462
0,92	0,35	Fluctuación ordinaria del elemento en la formación
0,69	0,01	
0,04	0,01	0 mm 76 mm
0,09	0,36	Fluctuación del fondo
0,68	1,33	
1,69 ± 0,38	2,33 ± 1,90	7 mm 9 mm
0,72 ± 0,92 < 3	3,00 ± 1,90 ± 1,10	
	<u>0,10</u> ± 1,3 < 3	
		MOSAICO Instabilización (lo)

RESTAN MAPAS





аріо

PLAN CORDILLERA NORTE
LABORATORIO DE GEOQUIMICA

PLANILLA DE ANALISIS

MUESTRA

ELEMENTOS EN

Form. I.N.G.M. 2 - 69

MINISTERIO DE ECONOMIA Y TRABAJO
SECRETARIA DE ESTADO DE ENERGIA Y MINERIA
SUBSECRETARIA DE MINERIA Y COMBUSTIBLES
INSTITUTO NACIONAL DE GEOLOGIA Y MINERIA

Pb

(6 muestras) 31680 30 40
Sentido; N-E 31681 40 45

NOTA: Es necesario hacer la advertencia de que, en algunos per-

files del muestreo orientativo, se extrajeron gran can-

tidad de muestras a distancias que oscibaban entre 40 y

60 metros, casi imposibles de representar en el plano.

Para obviar este inconveniente se tomaron los resulta-

dos de grupos de dos muestras y se usó el valor prome-
dio como representativo del grupo.

En esta forma la distribución de valores queda con una

densidad media similar a la de los demás perfiles (aproxí-
madamente una muestra cada 100 metros).

Por esta razón las planillas que adjuntamos no figuran
todas las muestras entregadas para su análisis y en al-
gunos casos los resultados no coinciden con los valores
que fueron suministrados por Laboratorio.

31661 25

31662 30

31663 5 30

31664 15 40

31665 20 50

31666 30 30

31667 50 30

31668 130 130



FECHA: MUESTREO ORIENTATIVO

Corresponden al mapa

Lámina No. 2

PLAN CORDILLERA NORTE
LABORATORIO DE GEOQUIMICA

PLANILLA DE ANALISIS

MUESTRA No.	ELEMENTOS EN P. P. M.			FLUORESCENCIA	MR/H	OBSERVAC.
	Cu	Pb	Zn			
LINEA 1 (6 muestras)	31680	30	40	85		
Sentido: W-E	31681	NR	45	20		
	31682	10	35	90		
	31683	55	85	70		
	31684	35	45	35		
	31685	165	115	1700		
LINEA 1 A (3 muestras)	31695	30	45	105		
Sentido: E-W	31698	50	40	30		
	31699	NR	25	65		
LINEA 2 (4 muestras)	31657	40	40	120		
Sentido: E-W	31658	45	45	60		
	31659	15	80	95		
	31660	95	45	200		
LINEA 3 (9 muestras)	31661	5	25	35		
Sentido: W-E	31662	10	40	65		
	31663	5	30	60		
	31664	15	40	65		
	31665	20	50	135		
	31666	30	30	125		
	31667	50	30	75		
	31668	130	130	90		

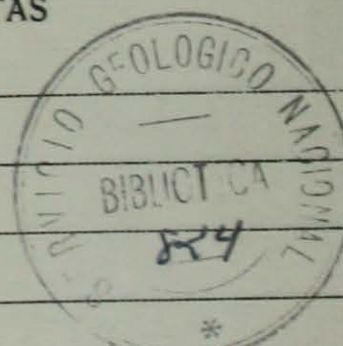
ANALISTAS

FECHA: MUESTREO ORIENTATIVO

Corresponden al mapa

Lámina No. 2

CONTROLADO _____



PLAN CORDILLERA NORTE
LABORATORIO DE GEOQUIMICA

PLANILLA DE ANALISIS

MUESTRA No.	ELEMENTOS EN P. P. M.			FLUORESCENCIA	MR/H	OBSERVAC.
	Cu	Pb	Zn			
31669	35	40	150			
<u>LINEA 4</u>						
(8 muestras)						
Sentido: W-E						
31643	NR	40	35			
31644	NR	35	25			
31645	115	40	85			
31646	35	45	75			
31647	NR	30	25			
31648	115	35	45			
31649	60	45	185			
31650	5	40	45			
<u>LINEA 5</u>						
(7 muestras)						
Sentido: W-E						
31641	5	40	30			
31640	5	40	75			
31639	10	45	125			
31638	Fe	Fe	Fe			
31637	30	60	115			
31636	20	295	280			
31635	10	45	1000			
<u>LINEA 6</u>						
(7 muestras)						
Sentido: E-W						
31687	85	40	65			
31688	5	50	110			
31689	30	35	140			
31690	NR	40	60			
31691	40	40	200			

ANALISTAS

FECHA: MUESTREO ORIENTATIVO

Corresponde n al mapa

Lámina No. 2

CONTROLADO _____

PLAN CORDILLERA NORTE
LABORATORIO DE GEOQUIMICA

PLANILLA DE ANALISIS

MUESTRA No.	ELEMENTOS EN P. P. M.			FLUORESCENCIA	MR/H	OBSERVAC.
	Cu	Pb	Zn			
25651	300	4500	500			
25650	65	6500	1000			
25649	10	40	85			
25648	65	6500	3800			
25647	600	12000	17000			
25646	50	35	85			
25638	40	30	50			
25637	20	40	50			
25639	100	90	180			
25636	40	35	75			
 LINEA 2						
(18 muest.)						
Sento W-E						
25684	80	65	600			
25688	38000	90	2800			
25689	250	35	70			
25691	85	35	75			
25680	35	25	70			
25666	5	25	50			
25665	5	30	65			
25664	35	25	75			
25667	10	35	50			
25663	85	5500	1000			
25662	10	30	55			
25661	15	30	50			
25659	30	55	155			

ANALISTAS

FECHA: MUESTREO ORIENTATIVO

Corresponden al mapa

Lámina No. 2

CONTROLADO _____

PLAN CORDILLERA NORTE
LABORATORIO DE GEOQUIMICA

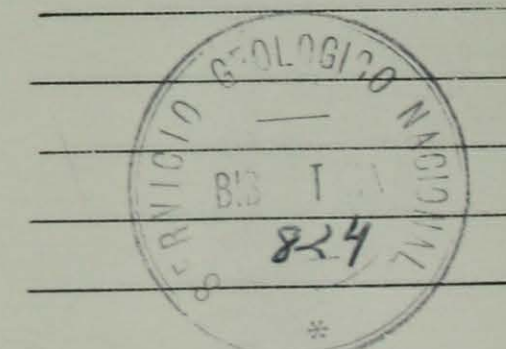
PLANILLA DE ANALISIS

MUESTRA No.	ELEMENTOS EN P. P. M.			FLUORESCENCIA	MR/H	OBSERVAC.
	Cu	Pb	Zn			
25657	60	30	85			
25614	230	14000	500			
25679	35	140	600			
25642	10	30	75			
25643	20	35	80			
25682	2000	110	800			
25681	2200	45	1400			
31709	100	300	1200			
25675	85	1800	1200			
25674	105	1900	1000			
25673	150	2.300	1700			
25671	300	13000	1200			
25670	225	6400	1200			
31731	30	35	80			
31732	15	40	60			
31730	60	90	700			
31733	85	30	800			
31734	45	45	75			
31735	20	35	125			
31736	160	45	70			
31737	30	20	85			
31738	25	80	190			

ANALISTAS

FECHA: MUESTREO ORIENTATIVO

Corresponden al mapa
Lámina No. 2



CONTROLADO _____

PLAN CORDILLERA NORTE
LABORATORIO DE GEOQUIMICA

PLANILLA DE ANALISIS

MUESTRA No.	ELEMENTOS EN P. P. M.				FLUORESCENCIA	MR/H	OBSERVAC.
	Mo	Cu	Pb	Zn			
31739		NR	40	500			
31740		25	35	75			
31741		10	70	70			
<u>LINEA 12</u> (13 muest.)	34021	2	15	40	35		
	34022	2	35	30	60		
	34023	1	10	35	75		
	34024	2	15	35	70		
	34025	6	5	25	35		
	34026	1	NR	25	30		
	34027	1	150	45	145		
	34028	1	35	40	240		
	34029	NR	100	40	215		
	34030	14	50	35	250		
	34031	1	10	30	65		
	34032	2	100	35	190		
	34033	5	45	35	220		
<u>LINEA 13</u> (17 muest.)	31927		15	30	90		
Sento. W-E	31929		15	30	70		
	31931		15	45	60		
	31933		20	30	65		
	31935		10	25	70		
	31937		10	30	70		

ANALISTAS

FECHA: MUESTREO ORIENTATIVO

Corresponden al mapa

Lámina No. 2

CONTROLADO _____

PLAN CORDILLERA NORTE
LABORATORIO DE GEOQUIMICA

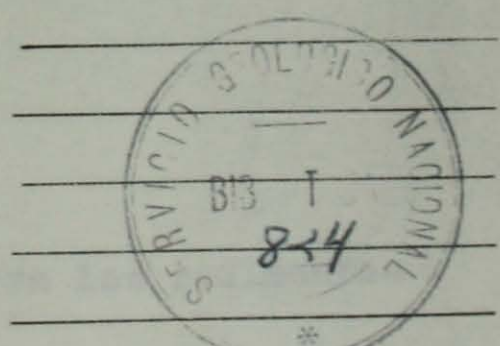
PLANILLA DE ANALISIS

MUESTRA No.	ELEMENTOS EN P. P. M.				FLUORESCENCIA	MR/H	OBSERVAC.
	Mo	Cu	Pb	Zn			
31939		15	25	75			
31941		20	30	90			
31943		20	40	95			
31945		15	30	80			
31947		20	25	85			
31949		10	40	80			
31951		15	35	85			
34035		65	290	210			
31953		20	30	210			
31955		45	45	155			
31957		15	40	70			
<u>LINEA 14</u>	31892	3	15	30	70		
(15 muest.)	31893	2	35	40	150		
Sente. W-E	31894	3	35	35	85		
	31895	2	20	35	110		
	31896	2	30	35	80		
	31897	2	50	30	60		
	31898	3	65	45	140		
	31899	2	65	115	85		
	31900	2	45	40	75		
	25889	3	30	40	105		
	25890	1	35	25	105		
	25891	2	35	30	130		

ANALISTAS

FECHA: MUESTREO ORIENTATIVO

Corresponden al mapa
lámina No. 2



CONTROLADO _____

PLAN CORDILLERA NORTE
LABORATORIO DE GEOQUIMICA

PLANILLA DE ANALISIS

MUESTRA No.	No.	ELEMENTOS EN P. P. M.			FLUORESCENCIA	MR/H	OBSERVAC.
		Cu	Pb	Zn			
25892	2	35	25	125			
25893	1	25	30	105			
25894	2	5	30	90			
<hr/>							
LINEA 15 (23 muest.) Sento W-E	31903	30	65	105			
	31904	20	45	105			
	31905	25	60	105			
	31906	30	35	100			
	31907	25	30	90			
	31908	35	85	135			
	31909	25	25	85			
	31910	30	45	105			
	31911	15	30	75			
	31912	30	20	100			
	31913	25	30	95			
	31914	30	55	80			
	31915	35	65	85			
	31916	30	35	115			
	31917	30	25	95			
	31918	30	30	95			
	31919	35	45	105			
(I)	32471	4	35	65	90		
(I)	32473	8	20	95	75		
(I)	32474	16	25	40	100		

ANALISTAS

FECHA: MUESTREO ORIENTATIVO

Corresponden al mapa

Lámina No. 2

(I) Muestras de rocas intercaladas entre los sedimentos
y analizadas por Molibdeno.

CONTROLADO

DIRECCION NACIONAL DE GEOLOGIA Y MINERIA
PLAN CORDILLERA NORTE
LABORATORIO DE GEOQUIMICA

Análisis solicitado por: _____

Muestra procedente de: _____

MUESTRA No.	Mo	ELEMENTOS EN P. P. M.			OBSERVACIONES
		Cu	Pb	Zn	
(I) 32475	8	5	25	45	
(I) 32476	8	40	35	20	
(I) 32478	4	15	25	30	
<u>LINEA-16</u>					
(10 muest.)	34011	1	30	35	170
Sent. W-E	34012	2	40	210	260
	34013	1	60	145	500
	34014	2	5	40	25
	34015	5	5	25	20
	34016	2	50	30	65
	34017	11	5	35	15
	34018	8	20	25	80
	34019	5	30	40	140
	34020	1	95	20	150
<u>LINEA-17</u>					
(10 muest.)	34010	2	45	185	500
Sent. W-E	34009	2	60	205	420
	34008	2	30	40	700
	34007	2	10	30	65
	34006	2	15	50	30
	34005	2	20	45	70
	34004	2	45	50	70
	34003	2	45	140	85
	34002	3	45	30	65
	34001	1	5	25	50

MUESTREO ORIENTATIVO: Corresponden al mapa
Lámina No. 2

Analistas:

Fecha de entrada: _____

Fecha de salida: _____

(I) Muestras de rocas intercaladas entre los sedimentos y analizadas
por Molibdeno.

Controlado: _____

DIRECCION NACIONAL DE GEOLOGIA Y MINERIA

PLAN CORDILLERA NORTE

LABORATORIO DE GEOQUIMICA



Análisis solicitado por:

Muestra procedente de:

MUESTRA No.	ELEMENTOS EN P. P. M.			OBSERVACIONES
	Cu	Pb	Zn	
31697	30	30	55	
31694	NR	35	25	
31672	40	40	35	
31800	15	40	50	
31801	5	45	70	
31802	5	35	80	
31803	50	30	70	
31804	1000	10	75	
31805	60	30	75	
31806	360	35	40	
31807	35	25	60	
31808	30	20	50	
31809	400	65	85	
31810	300	1300	85	
31811	NR	30	35	
31812	40	30	80	
31813	100	95	70	
31814	NR	65	35	
31815	35	35	70	
31816	50	30	75	
31817	20	40	100	
31818	NR	20	30	
31651	10	60	25	
31652	45	40	50	
25822	140	320	2400	

MUESTREO ORIENTATIVO: Corresponden al mapa
Lámina No. 2

Analistas:

Fecha de entrada:

Fecha de salida:

Controlado:

DIRECCION NACIONAL DE GEOLOGIA Y MINERIA.
 PLAN CORDILLERA NORTE
 LABORATORIO DE GECQUIMICA

Análisis solicitado por: _____

Muestra procedente de: _____

MUESTRA No.	ELEMENTOS EN P. P. M.			OBSERVACIONES
	Cu	Pb	Zn	
25823	50	40	110	
25824	15	30	110	
25825	120	200	800	
25826	1100	40	3800	
25601	40	30	30	
25602	50	25	70	
25603	15	25	40	
25604	5	30	95	
25605	5	25	35	
25606	35	45	45	
25607	10	25	65	
 <u>LINEA 19A</u> (6 Muest.)	 31716	 70	 25	 65
Sent. N-S	31715			
	31717	35	25	100
	31718	65	35	80
	31719	5	40	75
	31720	55	45	1400
 <u>LINEA 19</u> (11 mues)	 25828	 185	 35	 90
Sent. N-S	25827	15	30	75
	25844	45	25	80
	25843	35	30	90
	25842	40	20	65
	25841	100	35	90

MUESTREO ORIENTATIVO: Corresponden al mapa

Analistas:

Fecha de entrada: _____

Lámina No. 2

Fecha de salida: _____

Controlado: _____

DIRECCION NACIONAL DE GEOLOGIA Y MINERIA
 PLAN CORDILLERA NORTE
 LABORATORIO DE GEOQUIMICA

Análisis solicitado por: _____

Muestra procedente de: _____

MUESTRA No.	ELEMENTOS EN P. P. M.			OBSERVACIONES
	Cu	Pb	Zn	
25840	NR	30	70	
25839	15	20	40	
25838	NR	25	70	
25837	NR	30	60	
25836	NR	25	40	
<u>LINEA 20</u>				
(7 muest.)				
Sent. N-S				
25829	NR	30	50	
25830	NR	25	85	
25831	NR	25	40	
25832	NR	30	60	
25833	35	25	90	
25834	500	15	85	
25835	NR	20	50	
<u>LINEA 21</u>				
(6 muest.)				
Sent. N-S				
31704	5	35	65	
31703	5	45	35	
31702	NR	35	35	
31701	NR	25	70	
31700	600	700	65	
31742	15	30	95	
<u>LINEA 22</u>				
(10 Muest.)				
Sent. N-S				
31959	25	35	70	
31960	10	30	70	
31961	10	35	80	
31962	15	20	85	

MUESTREO ORIENTATIVO: Corresponden al mapa

Analistas:

Fecha de entrada: _____ Lámina No. 2 _____

Fecha de salida: _____

Controlado: _____

DIRECCION NACIONAL DE GEOLOGIA Y MINERIA
PLAN CORDILLERA NORTE
LABORATORIO DE GEOQUIMICA



Análisis solicitado por: _____

Muestra procedente de: _____

MUESTRA No.	ELEMENTOS EN P. P. M.			OBSERVACIONES	
	Cu	Pb	Zn		
31963	20	30	90		
31964	15	25	85		
31965	20	30	85		
31966	20	20	90		
31967	20	25	90		
31968	15	30	80		
 <u>LINEA 23</u> (6 muest.) Sent. N-S	 34074 34075 34076 34077 34078 34079	 25 5 15 50 25 5	 35 25 35 30 30 30	 70 60 70 70 85 70	
 <u>LINEA 24</u> (17 mues.) Sent. N-S	 34070 34069 34068 34067 34066 34065 34064 34063 34062 34061 34060	 20 25 35 20 40 20 20 20 45 25 25	 30 45 45 25 30 20 40 30 55 40 45	 85 115 100 75 85 80 105 145 105 85 95	

MUESTREO ORIENTATIVO: Corresponden al mapa
lámina No. 2

Analistas:

Fecha de entrada: _____

Fecha de salida: _____

Controlado: _____

DIRECCION NACIONAL DE GEOLOGIA Y MINERIA
PLAN CORDILLERA NORTE
LABORATORIO DE GEOQUIMICA

Análisis solicitado por: _____

Muestra procedente de:

MUESTREO ORIENTATIVO: Corresponden al mapa
Lámina No. 2

Analistas:

Fecha de entrada:

Fecha de salida: _____

Controlado: _____



12500

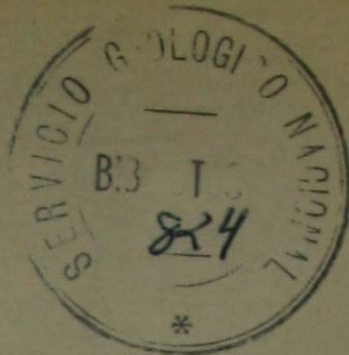
11/6/16 0:16

2000

Line 44

RESTAN MAPAS





PLAN CORDILLERA NORTE
LABORATORIO DE GEOQUIMICA

PLANILLA DE ANALISIS

MUESTRA No. COORDINADAS	ELEMENTOS EN P. P. M.				FLUORESCENCIA	MR/H	OBSERVAC.
	No.	Cu	Pb				
E 6	NR	15	675				
E 5	NR	10	350				
D 18	NR	25	40				
D 17	NR	40	45				
D 16	NR	35	40				
D 15	NR	NR	55				
D 14	NR	25	135				
D 13	NR	25	45				
D 12	NR	95	40				
D 11	8	25	50				
D 10	NR	140	815				
D 9	NR	50	50				
D 8	NR	NR	675				
D 7	2	35	145				
D 6	NR	NR	45				
D 5	NR	NR	140				
C 18	36	10	40				
C 17	6	NR	30				
C 16	NR	5	30				
C 15	NR	NR	20				
C 14	26	15	15				
C 13	2	45	40				
C 12	1	85	335				
C 11	2	25	225				

ANALISTAS

FECHA: MUESTREO SISTEMATICO

Valores de los análisis practicados a las muestras, ubicadas en la lámina No. 4

Se localizan las muestras por Coordenadas:

Líneas con números NW - SE

" " Letras SW-NW. CONTROLADO



PLAN CORDILLERA NORTE
LABORATORIO DE GEOQUIMICA

PLANILLA DE ANALISIS

Nº COORDENADAS	MUESTRAS	ELEMENTOS EN P. P. M.				FLUORESCENCIA	MR/H	OBSERVAC.
		Cu	Pb					
C 10	4	35	40					
C 9	8	230	1200					
C 8	12	20	65					
C 7	26	65	50					
C 6	NR	NR	40					
C 5	NR	NR	95					
B 18	12	5	25					
B 17	NR(1)	15	35					
B 16	12	25	40					
B 15	6	55	35					
B 14	6	5	150					
B 13	10	25	50					
B 12	4	NR	30					
B 11	2	5	40					
B 10	4	5	95					
B 9	2	70	900					
B 8	4	5	55					
B 7	12	25	150					
B 6	10	15	45					
B 5	6	40	45					
A 16	NR	5	35					
A 15	NR	20	55					
A 14	6	30	45					
A 13	8	35	90					

(1) Muestra Vecina Intercalada: 16 ppm Mo.-

ANALISTAS _____

FECHA: MUESTREO SISTEMATICO

Valores de los análisis practicados a las muestras, ubicadas en las láminas No. 4

Se localizan las muestras por Coordenadas:

Líneas con números NW - SE

" " letras SW-NE, - CONTROLADO _____



PLAN CORDILLERA NORTE
LABORATORIO DE GEOQUIMICA

PLANILLA DE ANALISIS

MUESTRA No.	ELEMENTOS EN P. P. M.			FLUORESCENCIA	MR/H	OBSERVAC.
	Mo	Cu	Pb			
A 12	6	10	65			
A 11	4	45	60			
A 10	4	45	90			
A 9	NR	30	20			
A 8	2	195	25			
A 7	NR	35	45			
A 6	NR	15	25			
A 5	NR	35	35			
A ₁ 15	NR	10	40			
A ₁ 14	20	25	300			
A ₁ 13	14	45	60			
A ₁ 12	16	25	120			
A ₁ 11	22	15	110			
A ₁ 10	6	20	60			
A ₁ 9	2	5	40			
A ₁ 8	10	NR	45			
A ₁ 7	4	5	50			
A ₂ 14	4	15	60			
A ₂ 13	4	30	50			
A ₂ 12	2	10	45			
A ₂ 11	4	NR	40			
A ₂ 10	2	10	45			
A ₂ 9	8	55	50			
A ₃ 14	8	35	30			

ANALISTAS

MUESTREO SISTEMATICO

FECHA: Valores de los análisis practicados a las muestras, ubicadas en la lámina No. 4

Se localizan las muestras por Coordenadas:

Líneas con números NW-SE
" " letras SW-NE

CONTROLADO

PLAN CORDILLERA NORTE

LABORATORIO DE GEOQUIMICA

PLANILLA DE ANALISIS

ANALISTAS

MUESTREO SISTEMATICO

FECHA:

Valores de los análisis practicados a las muestras, ubicadas en la lámina No. 4

Se localizan las muestras por Coordenadas:

Líneas con números NW-SE
" " letras SW-NE

CONTROLADO

RESTAN MAPAS



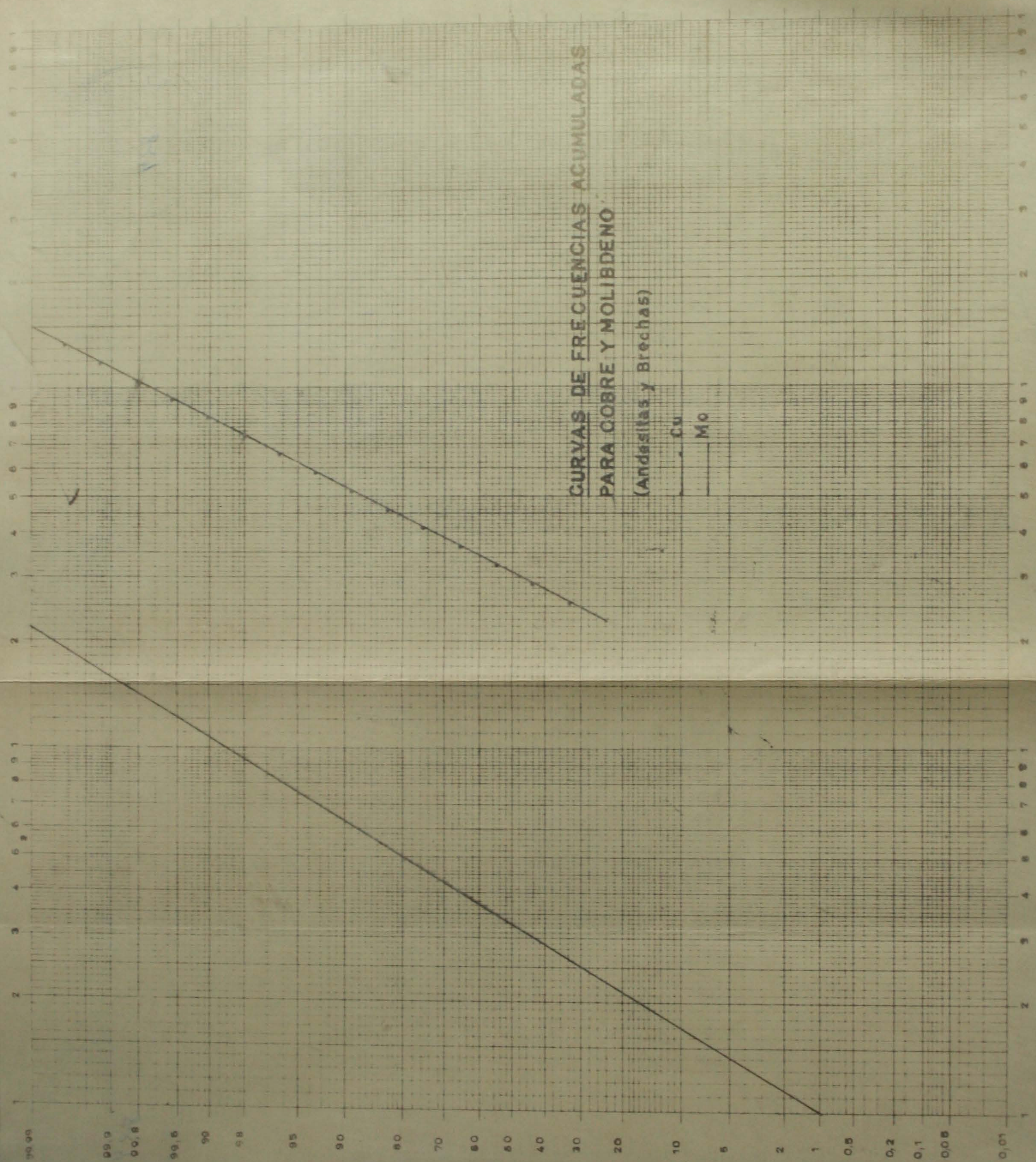


CURVAS DE FRECUENCIAS ACUMULADAS
PARA COBRE Y MOLIBDENO

(Andesitas y Brechas)

Cu
Mo

Vir



8201

8201